

VYSOKÁ ŠKOLA STROJNÁ A TEXTILNÁ V LIBERCI

nositelka Radu práce

Fakulta textilná

obor 31-12-8

Technológia textilu a odevníctva

Zameranie: textilné materiály - pradenie

Katedra náuky o textilných materiáloch

Elastické vlastnosti významných odevných materiálov.

Jana Il'ašová

KNM .....

Vedúci práce: Ing. Jaroslav Staněk

Konzultant: Ing. Jaroslav Staněk

Rozsah práce.

Počet stran: 44

Počet tabuľiek: 13

Počet obrázkov: 21

Počet stran v prílohe: 8

V Liberci dňa 31.10.1982

Vysoká škola: Strojní a textilní Fakulta: textilní  
Katedra: KNM Školní rok: 1981/82

## ZADÁNÍ DIPLOMOVÉ PRÁCE

(PROJEKTU, UMĚLECKÉHO DÍLA, UMĚLECKÉHO VÝKONU)

pro Janu Ilášovou  
obor 31 - 12 - 8 Technologie textilu a oděvnictví

Vedoucí katedry Vám ve smyslu nařízení vlády ČSSR č. 90/1980 Sb., o státních závěrečných zkouškách a státních rigorózních zkouškách, určuje tuto diplomovou práci:

Název tématu: Elastické vlastnosti význačných oděvních materiálů.

### Zásady pro vypracování:

1. Prověďte literární průzkum metod, jež měří tuhost v ohybu a výsledné ohybové deformace význačných textilií.
2. Na základě literárního průzkumu navrhněte doplňkové zařízení k dynamometru INSTRON na sledování těchto deformací proužkovou metodou.
3. Zjistěte u předložených vzorků jejich anizotropii v ohybové tuhosti a zjištěné parametry navrženou metodou.

Autorské právo se řídí směrnicemi  
MŠK pro státní záv. zkoušky č.j. 31  
727/62-III/2 ze dne 13. července  
1962-Věstník MŠK XVIII, sešit 24 ze  
dne 31.8.1962 § 19 aut.z č. 115/53 Sb.

VYSOKÁ ŠKOLA STROJNÍ A TEXTILNÍ  
Ústřední knihovna  
LIBEREC 1, STUDENTSKÁ 8  
PSČ 461 17

158/83 T

**Obsah**

	str.:
<b>Úvodný list</b>	<b>1</b>
<b>Zadanie</b>	<b>2</b>
<b>Miestopísané prehlásenie</b>	<b>3</b>
<b>Obsah</b>	<b>4-5</b>
<b>Zoznam použitých symbolov</b>	<b>6-7</b>
<b>1. Úvod</b>	<b>8-9</b>
<b>2. Teoretická časť</b>	<b>10</b>
<b>2.1 Požiadavky kladené na výzvužné vložky</b>	<b>11</b>
<b>2.2 Prieskum súčasného stavu merania tu-</b>	
<b>hosti v ohybe</b>	<b>12</b>
<b>2.2.1 Definícia tuhosti v ohybe</b>	<b>12</b>
<b>2.2.2 Meranie tuhosti v ohybe</b>	<b>12-13</b>
<b>2.3 Pružnosť a deformácia textilií</b>	<b>14</b>
<b>2.3.1 Metódy merania prúžnosti</b>	<b>14-15</b>
<b>2.3.2 Vplyv cyklického namáhania na zmenu</b>	
<b>elastickej deformácie, ako následku</b>	
<b>vonkajších zatažovacích síl v závis-</b>	
<b>losti na čase.</b>	<b>16-18</b>
<b>3. Experimentálna časť</b>	<b>19</b>
<b>3.1 Návrh a popis konštrukcie doplnkového</b>	
<b>zariadenia k dynamometru Instron</b>	<b>20-21</b>
<b>3.1.1 Popis meracej aparátury dynamometru</b>	
<b>Instron</b>	<b>22</b>
<b>3.1.2 Príprava dynamometru pre meranie</b>	
<b>a popis vlastného merania</b>	<b>22-23</b>
<b>3.2 Charakteristika vložkových materiálov</b>	<b>23-24</b>

3.3 Charakteristika vrchných materiálov	25
3.4 Popis a charakteristika spojeného skúšaného textilia	25-26
3.5 Meranie anizotropie tuhosti v ohybe na položených vzorkoch samotných a v spojení s vrchným materiálom	26-31
3.6 Príprava skúšaných vzorkov pre meranie ohybovej deformácie	32
3.7 Analýza grafických záznamov	32-33
3.8 Grafický záznam viac cyklov	33-38
3.9 Stanovenie stupňa elastického zotavenia	39-41
4.1 Záverečná časť	42
4.1. Záver	43
5. Zoznam použitej literatúry	44
6. Tabulková príloha	

## Zoznam použitých symbolov

 $M_o$  - ohybový moment $T_o \left[ \text{Nm}^2 \right]$  - tuhost v ohybe $q \left[ \text{Nm}^{-1} \right]$  - lineárna merná tiaž $\S_l$  - dĺžková merná hmotnosť $\S_s \left[ \text{kgm}^{-2} \right]$  - plošná merná hmotnosť $g_{\text{II}} \left[ \text{ms}^{-2} \right]$  - zemské gravitačné zrychlenie $r$  - polomer zakrivenia $\vartheta$  - uhol sklonu $l \left[ \text{mm} \right]$  - dĺžka previsu $\varepsilon_{elok}$  - okamžitá elastická deformácia $\varepsilon_{elsp}$  - elastická deformácia závisla na čase $\varepsilon_{pl}$  - plastická deformácia $E \left[ \% \right]$  - stupeň elastickej deformácie $d_z \left[ \text{mm} \right]$  - priemer valca pred zatažením $d_p \left[ \text{mm} \right]$  - priemer valca po zatažení $\varepsilon$  - celková deformácia $c_n$  - počet zatažovacích cyklov $F_p \left[ \text{N} \right]$  - tlaková sila $b \left[ \text{mm} \right]$  - šírka materiálu $h \left[ \text{mm} \right]$  - hrubka materiálu $l_o \left[ \text{mm} \right]$  - nulová poloha $l \left[ \text{mm} \right]$  - príslušné zataženie $s_{F_p} \left[ \text{N} \right]$  - smerodatná odchylka sily  $F_p$  $l_2 \left[ \text{mm} \right]$  - vzdialenosť vzorku pred zatažením $l_3 \left[ \text{mm} \right]$  - vzdialenosť vzorku po zatažení $c \left[ \text{m} \right]$  - ohybová dĺžka

$\beta_m$  - medza únavy

$nc_m$  - medzný počet zaťažovacích cyklov

## 1. ÚVOD

Jednou z dôležitých súčasťí odevných výrobkov sú prípravy t.j. rôzne tuženky, pružné vložky, ktoré tvoria v odevnom výrobku veľmi závažnú zložku, tabebezpečujúcu potrebné užitné vlastnosti hotového výrobku. Hlavne v posledných rokoch sú požiadavky na prípravu stále vyššie a z hľadiska textilnej výroby stále obtiažnejšie splnitelné. Vyrábajú sa totiž nové typy textilií, ktoré nie sú náročné na údržbu, ľahko sa Peru a nemusia sa žehliť.

Je treba dbať, aby do jednotlivých odevných výrobkov boli správne zvolené a použité všetky typy a druhy príprav a to podľa týchto dvoch základných hľadísk:

- hľadisko spracovateľské
- hľadisko užitnej hodnoty

Pokiaľ sa týka požiadavku spracovateľnosti, musia vlastnosti všetkých zvolených typov pre daný výrobok odpovedať vlastnostiam použitého základného materiálu.

Z hľadiska užitnej hodnoty je nutné u všetkých príprav prihliadať k účelu použitia a vlastnostiam odevného výrobku. Je nutné aby výzvužné vložky mali primeranú tuhost a pružnosť, ktorá by po celú dobu nosenia zabezpečovala tvar a vzhľad daný odevnému výrobku spracovaním vo výrobe.

V súčasnej dobe sa výzvužné vložky vyrábajú z prírodných a chemických vlákien tkaním pletením a netradičným spôsobom - netkané textilie.

Z hľadiska konfekčného spracovania môžme význužné vložky rozdeliť na:

- význužné vložky v odevе umiestnené vol'ne, t.j. uchytene na určitých miestach šitím.
- význužné vložky umiestnené pevne, uchytené pomocou termoplastického pojiva na celej ploche, i keď len bodovo.

Zavedenie technológie fixácie, vyvolalo podstatné zmeny. Je ňou možno zaistiť požadovanú kvalitu výrobku a má ekonomické prínosy. Zavedením technológie fixácie, hlavne veľkých dielov odpadla závislosť na kvalifikovaných pracovných silách na určitých kľučových pracoviskách.

Táto technológia fixácie v zrovnaní s klasickou uláhuje mechanizáciu popri pade automatizáciu.

2, TEORETICKÁ ČASŤ

## 2.1. Požiadavky kladené na význužné vložky

Význužné vložky zaujímajú zvláštné postavenie v sortimente textilií pre odevy. Sú to v podstate konštrukčné materiály, ktorých úlohou je vytvárať nosnú a význužnú časť odevu. Zatiaľ čo ich vzhľadová a estetická stranka je takmer nepodstatná, značné nároky sú kladené na ich fyzikálno mechanické vlastnosti.

Pri hodnotení fixačných význužných vložiek je potrebné prihliadnúť k tomu, že väčšiny požadovaných vlastností nadobudnú až po spojení s vrchnou textiliou. Vlastnosti takto vzniknutého vrstveného útvaru nie sú len prostým súčtom vlastnosti pôvodných vrstiev, ale sú významne ovplyvnené ich adhezným a teda neposuvným a mechanicky len občiažne deformovateľným spojením.

Vo väčšine prípadov nie je možné prevádzkať skúšky kvality a požadovaných vlastností pri praktickom používaní význužných vložiek a preto je potrebné vytvoriť také podmienky k zisteniu namáhania a deformácií, ktoré odpovedajú prektickému použitiu. Hodnotenie na základe skúšok prevedených praktickým použitím je zdíhavé.

Vyhodnejšie je hodnotiť vlastnosti význužných vložiek v laboratoriách pomocou vhodnej prístrojovej techniky. Skutočným podmienkam procesu používania sa najviac približujú skúšky cyklického /opákovaného/ namáhania.

## 2.2. Prieskum súčasného stavu merania tuhosti v ohybe

Pre určovanie anizotropie tuhosti v ohybe dodnes neexistuje jednoznačná a presná metóda. K určovaniu anizotropie tuhosti v ohybe používame viac spôsobov, ale ani jednej metóde nemôžeme tvrdiť, že by bola úplne presná, ale pre naše potreby ziskávame dostačujúco, presné, smerodatné odchylky.

### 2.2.1. Definícia tuhosti v ohybe

Tuhosťou rozumieme odolnosť plošnej textilie voči ohybaniu. Je to schopnosť materiálu reágovať momentom vnútorných síl súdržnosti proti namáhaniu momentom vonkajších síl spôsobujúcich deformáciu.

Vyjadruje sa ako ohybový moment  $M_o = \frac{EJ}{\rho}$  [1]

Ohybová tuhosť - miera vzájomného pôsobenia medzi vzorkom a jeho tuhostou znázornená drahou, v ktorej sa vzorek ohýba svojou vlastnou váhou.

Tuhosť v ohybe sa vypočíta  $T_o = M_o \rho$  za  $M_o$  dosadime [1]

$$T_o = EJ$$

### 2.2.2. Meranie tuhosti v ohybe tkaniny previsom

Pomerne zložitou úlohou merania tuhosti textilie v ohybe sa zaoberala rada vedcov a firiem. Jednu z najznamejších metód pre riešenie tejto problematiky návrhuje americká norma. Jedná sa metódu "CANTILEVER TEST"

Cantilever test - princíp tejto metódy spočíva v tom, že vzorok textilie v tvare prúžku je vetknutý na jednej strane ako krakorcový nosník, je ohýbaný silou vlastnej tiaže do tvaru obluku. Pri známej dĺžke previsu  $l$ , sa stanoví uhol  $\vartheta$  ktorý zviera spojnica miesta podpory a koniec ohnutého vzorku s horizontálnou rovinou. Tuhosť vzorku je charakterizovaná ohýbovou tuhostou.

$$c = lK^{1/3} \text{ kde } K = f(\vartheta)$$

$$K = \frac{\cos \vartheta/2}{8 \operatorname{tg} \vartheta}$$

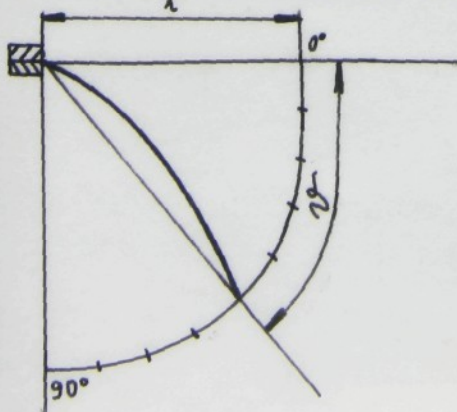
Vzhľadom k tomu, že pri tomto spôsobe merania je deformácia vzorku vyvolaná silou, ktorá pôsobí zemské gravitačné poje je treba pri porovnaní tuhosti textilie o rôznej plošnej hmotnosti brať v úvahu i veľkosť tejto sily. Tuhost vzorku je potom charakterizovaná ohýbovou tuhostou  $T_0$ , ktorá je daná vzťahom  $T_0 = q \cdot c^3$

$$\text{kde } q = \frac{G}{\lambda} = \rho_1 \cdot g_n$$

$$\text{z toho } T_0 = b \cdot \rho_s \cdot g_n \cdot c^3 [\text{Nm}^2]$$

K stanoveniu tuhosti v ohýbe služí jednoduchý prístroj skonštruovaný na katedre textilných materiálov pri VŠST Liberec.

Obr. 1 Schematické znázornenie usporiadania vzorku a princíp pre meranie tuhosti v ohýbe podľa cantilever test.



### 2.3. Pružnosť a deformácia textilií

Pružnosťou /elasticitou/ rozumieme schopnosť tkaniny zachovať si pri rôznom silovom namáhaní svoj tvar, plošný rozmer, alebo tieto vlastnosti znova získať po ukončení silového účinku. Pokial' by tkanina nebola elastická, bola by naprosto bez hodnoty, každe ohnutie by malo trvalý charakter.

Pod deformáciou rozumieme rozmerovú zmenu, ku ktorej došlo pôsobením nejakej vonkajšej zatažovacej sily. Táto zatažovacia sila vyvolá v textilnom materiále napätie, ktorého vplyv sa prejaví na zmene tvaru a štruktúry tkaniny. V závislosti na veľkosti sily a dobe jej pôsobenia dochádza k deformáciám, ktoré môžu mať trvalý alebo dočasný charakter, poprípade dôjde k porušeniu celistvosti materiálu. Pri dočasných deformáciach sa prejavujú elastické vlastnosti materiálu, ktoré sú závislé na čase.

Deformácie sú závislé:

1. na podmienkach deformačného procesu, t.j.

- fyzikálne podmienky - zvlášť podmienky teploty vlhkosti skúšobného prostredia
- veľkosť zatažovacej sily
- doba pôsobenia zatažovacej sily
- typ použitého prístroja

2. na vlastnostiach a druhu skúšaného materiálu

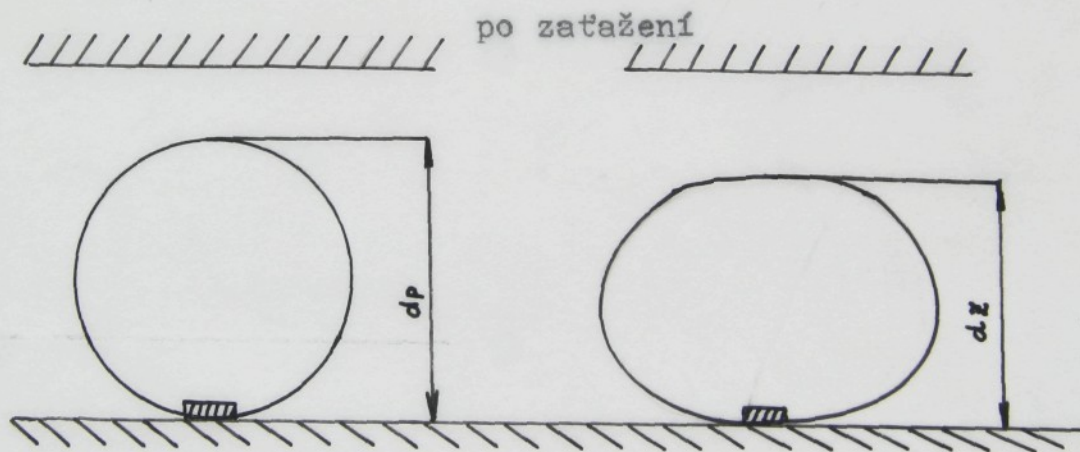
#### 2.3.1. Metódy merania pružnosti

"textilií" nemohla byť použitá na základe skúsenosti v n.p. Textilana a VÚ O Prostějov, kde sa prevadzalo meranie pružnosti vložkových materiálov podľa tejto normy. Výsledky neboli dosť uspokojivé.

Ďalšou metódou na meranie pružnosti je DIN 54 302. Pružok textilie upnutý do válcového tvaru zaťažovaný v radiálnom smere vlaca. Po odstranení závažia nasleduje zotavenie. Zo zmeny priemeru valca vzorku pred zatažením  $d_p$  a po zatažení  $d_z$  sa vypočíta stupeň elastického zotavenia (velkosť elastickej deformácie).

$$E = \frac{d_z - d_p}{d_p} \cdot 10^2 [\%]$$

obr. 2 Skušaný materiál pred zatažením



Na princípe tejto metódy bolo navrhnuté doplnkové zariadenie k dynamometru Instron. Aby merania odpovedali skutočným podmienkam boli vzorky podrobené cyklickému namáhaniu.

2.3.2. Vplyv cyklického namáhania na zmenu elastickej deformácie, ako následku vonkajších zatažovacích síl v závislosti na čase.

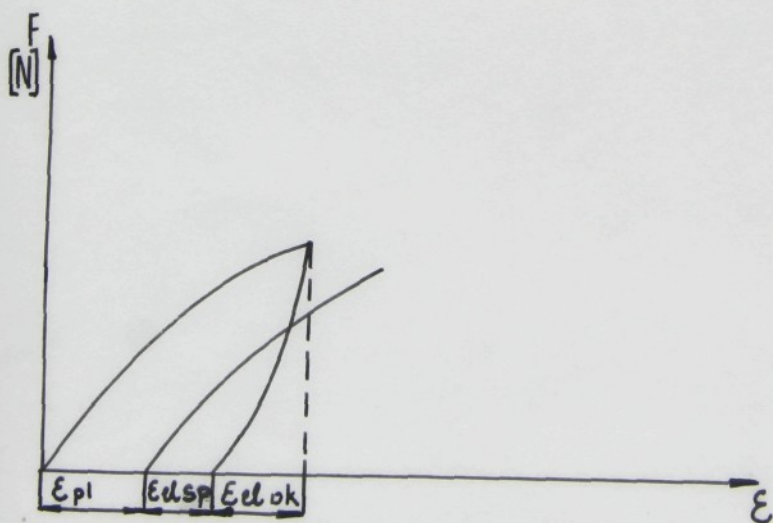
Cyklické namáhanie:

Princíp merania spočíva v tom, že sa stále zatažuje vzorka do určitej hodnoty zataženia. Zatažuje sa len do určitého bodu pracovnej krvky a potom sa opäť odľahčuje. Toto odľahčenie a zataženie sa pravidelne opakuje.

Kedž vykonávame namáhanie pomocou nastavenia konštantnej deformácie, dochádza k poklesu napäťia a vplyvom cyklického namáhania dochádza k relaxácií napäťia. Po určitom počte cyklov celková deformácia sa nemení, ale menia sa jej jednotlivé zložky.

$$\epsilon_c = \epsilon_{ulok} + \epsilon_{uls} + \epsilon_{pl}$$

obr. 3 Graf závislosti deformácie na cyklickom namáhaní



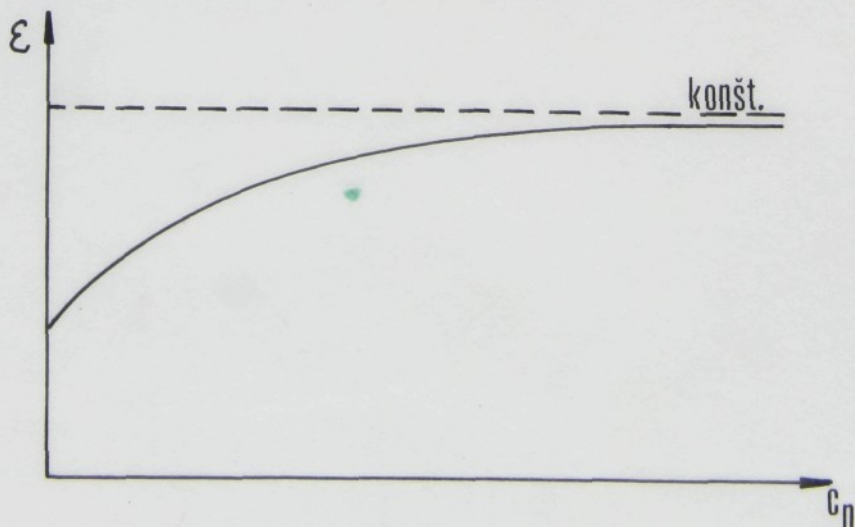
Kedž sa odstraní zataženie prejavia sa najprv elasticke vlastnosti, a to najprv okamžitá elastická deformácia ( $\epsilon_{ulok}$ )

Je to tá časť deformácie, ktorá prakticky mizne ihneď po odstránení vonkajších síl.

Potom sa prejaví elastická deformácia ( $\varepsilon_{us}$ ) závislá na čase. Ide o časť deformácie, ktorá po odstránení vonkajších síl mizne postupne. Ináč sa tomuto elastickému preťaženiu hovorí tiež dopružovanie, zotavenie, vysokoelastická deformácia, sekundárne plastické preťaženia, elastická hysteréza, atď.

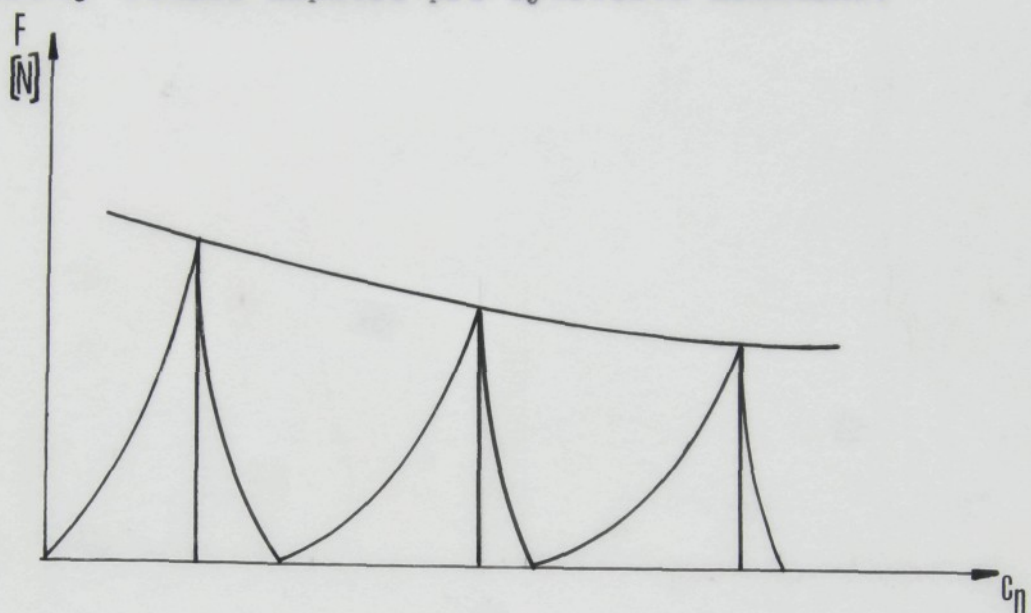
Cyklické namáhanie výkonávame až do zistenia konštantnej hodnoty hľadaného parametru. Týmto cyklickým namáhaním môžeme sledovať napr. zbytkovú deformáciu, ktorá po vykonaní určitého počtu cyklov dosiahne konštantnej úrovne. Faktom je, že pre fázu zotavenia, kedy je vzorka v klude, sa snažia relaxačné sily vrátiť do pôvodnej polohy, a preto je zotavovacia doba pri cyklickom namáhaní jedným z faktorov ovplyvňujúcich deformačnú zmenu. Menšie zotavenie nastane pri 1 minútovom odľahčení ako napr. pri 1 hodinovom, alebo dlhšom.

obr.:4 Závislosť deformácie na cyklickom namáhaní



Ak vykonávame cyklické namáhanie vzorku, ktorý zatažujeme do konštantného ohnutia, dochádza k poklesu napäťia podľa obrázku

obr. 5 Pokles napäťia pri cyklickom namáhaní.



3 EXPERIMENTÁLNA ČASŤ

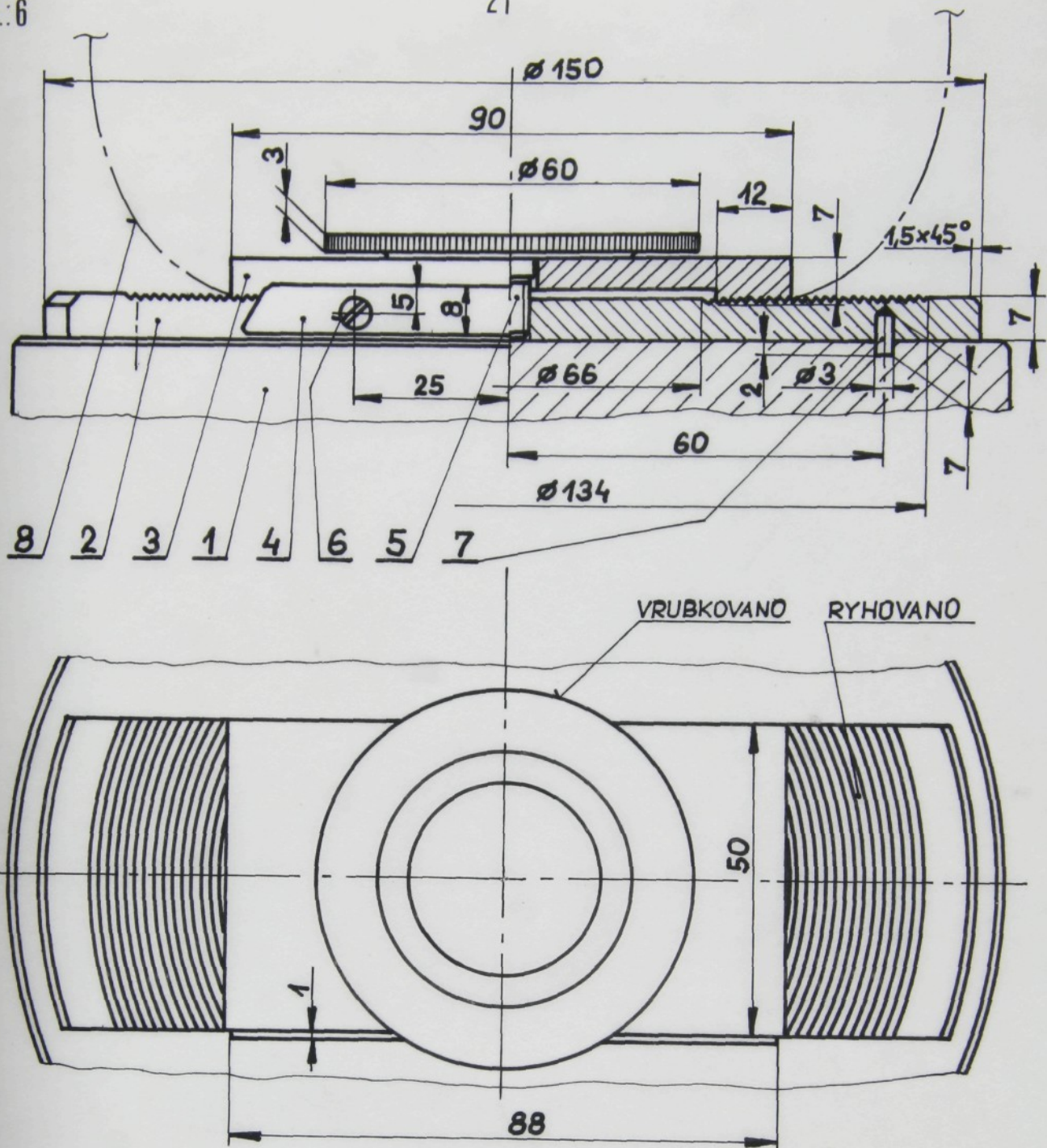
### 3.1. Návrh a popis konštrukcie doplnkového zariadenia

k dynamometru Instron.

---

Návrh konštrukcie doplnkového zariadenia bolo nutné previesť s ohľadom k pripojeniu na hlavu dynamometru Instron. Zariadenie bolo návrhnuté pre zistenie elastických vlastností významných vložiek v spojení s vrchným materiálom. Zariadenie bolo vyrobené v školských dielňach.

Popis konštrukcie: Návrhnuté zariadenie je vyobrazené na obr. ... . Medzi spodnou čelustou 2 a vrchnou čelustou 3 sa pripojuje pomocou šrubu 5, skušaný materiál 8. Z dôvodu dobrého držania materiálu sú obidve čeluste rýhované. V spodnej čelasti 2 sú nalisované dva kolíky 7, ktoré služí k upevneniu zariadenia do pracovnej polohy na hlavu dynamometru Instron 1. Z dôvodu usadenia skušaného materiálu v upínacích čelustiach je zariadenie opatrené plechom 4, ktorý je pripojený k spodnej čelasti dvoma šrubami 6.



tab:1

1	hlava dynamometru
2	spodná čelust
3	vrchná čelust
4	plech
5	šrub M 6
6	šrub M 2,5
7	kolík
8	skúšaný materiál

### 3.1.1. Popis meracej aparatury dynamometru Instron

Meranie bolo prevedené na dynamometri Instron, veľmi citlivom elektronickom systéme, ktorý zaznamenáva elektrickými snímačmi zatažovanie vzorku. Presnosť snímacov je  $\pm 0,5 \%$ . Jedna čelust' je spojená so snímacou hlavou.

Druhá pohyblivá čelust' je ovládaná dvoma vertikálnymi hnacími šrubami zo servomotoru. Rýchlosť tejto čeluste možno meniť v rozsahu  $(0,08 - 83,33) \cdot 10^{-4} \text{ ms}^{-1}$ . Zataženie možno voliť v rozsahu od  $(0,01 - 5000) \text{ kg}$ .

Registračný papier zapisovača zaznamenáva zmeny sily v priebehu skúšky. Jeho pohyb je voliteľný v rozsahu  $(0,33 - 83,33) \cdot 10^{-4} \text{ ms}^{-1}$ .

### 3.1.2. Príprava dynamometru Instron pre meranie a popis vlastného merania

Najprv je nutné vložiť zatažovacie telo, ktorého prostredníctvom sa pôsobi silou na skušaný materiál do objímky na doraz a upnúť pomocou šrubov do priečnika. Je nutné použiť takéj snímacou hlavu, ktorá by svojím rozsahom odpovedala očakávanému zataženiu. Pre prevádzkané skúšky bolo použito celý CM s rozsahom 1 až 20 N. Volba požadovaného zataženia a volba rýchlosťi záznamového priečnika sa prevedie podľa príslušného režimu skúšky takže i volba rýchlosťi záznamového papiera.

Následuje nastavenie nulovej polohy zatažovacieho tela vzhľadom k horizontálnej rovine hlavy dynamometru

### Instron.

Pripravený skúšaný materiál sa vloží medzi dve čeluste doplňkového zariadenia. Uťahovacím šrubom sa skúšaný materiál upne medzi čeluste.

Takto pripravené doplňkové zariadenie i so skúšaným materiáлом sa umiestní na pracovnej ploche hlavy dynamometru Instron, vsunutím 2 kolíkov na jeho spodnej strane do otvorov na pracovnej ploche hlavy dynamometru Instron. Stlačením tlačítka "DOWN" zjde priečník so zatažovacím telesom 55 mm pod nulovú polohu a zastaví sa. Po dobu 60 s sa pôsobí konštatntým zatažením o rozsahu 1 N na skúšaný materiál. Po uplynutí doby stlačíme tlačítko "RETURN", čím odľahčíme skúšaný materiál. Odľahčenie trvá 60 s. Na skúšaný materiál sa pôsobí opákovaným zatažovaním. U všetkých prevádzaných skúšok bolo použito 5 cyklov. Behom cyklu registruje písatko na regisračný papier záznamy tatažovania a odľahčovania. Rýchlosť regisračného papiera je  $16,67 \cdot 10^{-4} \text{ ms}^{-1}$ .

### 3.2. Charakteristika vložkových materiálov

Ako experimentálneho materiálu bolo použito 5 druhov nánosových vložiek. Medzi použitými vložkami sú vložky nánosované pre plošnú fixáciu a taktiež elastické prsné vložky pre tvárovú a plošnú fixáciu používané pre základnú fixáciu a fixáciu prsnej časti predných odevných dielov. Ich parametre sú úvedené v tabuľkách.

tab.:2

## Výztužné vložky tkané

druh ukazovateľ		9448202	terpolín
jemnosť	osnova	50 tex	
	útok	36 tex	
materiálové zloženie	osnova	100 % ba	100% VS
	útok	zmes. priadza	
väzba		keper 1:2	plátne
nános		PAD	PAD
šírka b [mm]		1500	950
fixačné podmienky		145-150 °C	145-150 °C
		35000 - 40000 Pa	25000 - 40000 Pa
		16 - 18 s	16 - 18 s

tab.:3

## Výztužné vložky netkané

druh ukazovateľ		ronofix	ronoterm
materiálové zloženie vlakenného rúna		90 % PES 10 % VS	75 % PES <sub>s</sub> 25 % VS <sub>s</sub>
hmotnosť pojenej textilie		70% vlakenná zložka 30% pojivo	70% vlak.zlož. 30% pojivo
plošná hmotnosť [kgm <sup>-2</sup> ]		600	630
šírka b [mm]		800	800

Vlieselin - zahraničná netkaná výztužná vložka. Používa sa pre fixáciu vlnených alebo iných vrchných textilií. Má bodový nános. Fixačné podmienky - teplota 145-155 °C

- tlak 20000-35000 Pa
- čas 8-12 s

### 3.3. Charakteristika vrchných materiálov

Ako vrchný materiál pre fixáciu bolo použito 5 druhov materiálov, s následujúcimi parametrami. Pre zjednodušenie je materiál označený rímskými číslicami.

tab.:4

druh ukazovateľ	I	II	III	IV	V
materiálové zloženie v [%]	61 vl / 13 PAD/ 35 VS	30 VS/ 70 PES/	70 vl/ 20 PAD/ 10 VS	85 vl/ 15 PAD/	85 vl/ 15 PAD/
väzba	plátno	keper	keper	keper	keper
dostava osnovy	120	220	110	160	170
dostava útku	120	210	100	150	150

### 3.4. Popis a charakteristika spojeného skúšaného textilia

Skušané vzorky boli zhotovené na podlepowacom lise, kde došlo k celoplošnému adheznému spojeniu nánosovej vložky s vrchným materiálom.

Fixácia bola prevedená za podmienok:

- teplota v medzere ..... 150 °C
- tlak ..... 35000 Pa
- doba ..... 16 s

Plošná hmotnosť bola skúšaná podľa ČSN 80 0845 "Stanovenie merných ukazovateľov hmotnosti plošných textilií".

Skúšanie hrubky sa prevádzalo podľa ČSN 80 0844 "Zistovanie hrubky plošných textilií"

tab.:5

druh skúšaného materiálu	vrchný materiál	druh vložky	$\rho_s [\text{kg} \cdot \text{m}^{-2}]$	h [mm]
A	I	9448202	0,447	1,33
B	II	terpolín	0,419	0,80
C	III	ronofix	0,490	3,54
D	IV	ronoterm	0,471	2,08
E	V	vlieselin	0,458	2,87

3.5. Meranie anizotropie tuhosti v ohybe na predložených vzorkoch samostatných a v spojení s vrchným materiáлом.

K stanoveniu tuhosti bol použitý jednoduchý prístroj skonštruovaný na katedre textilných materiálov VŠST v Liberci. Je na ňom možné zistiť uhol súčasne pre dva vzorky pri dĺžke previsu  $l = 120$  mm. Všetky vzorky boli skúšané z rúbnej a lícnej strany.

Rozmer vzorku: 25 x 70 mm

Vzorky vystrihnuté v smere: 1. osnova

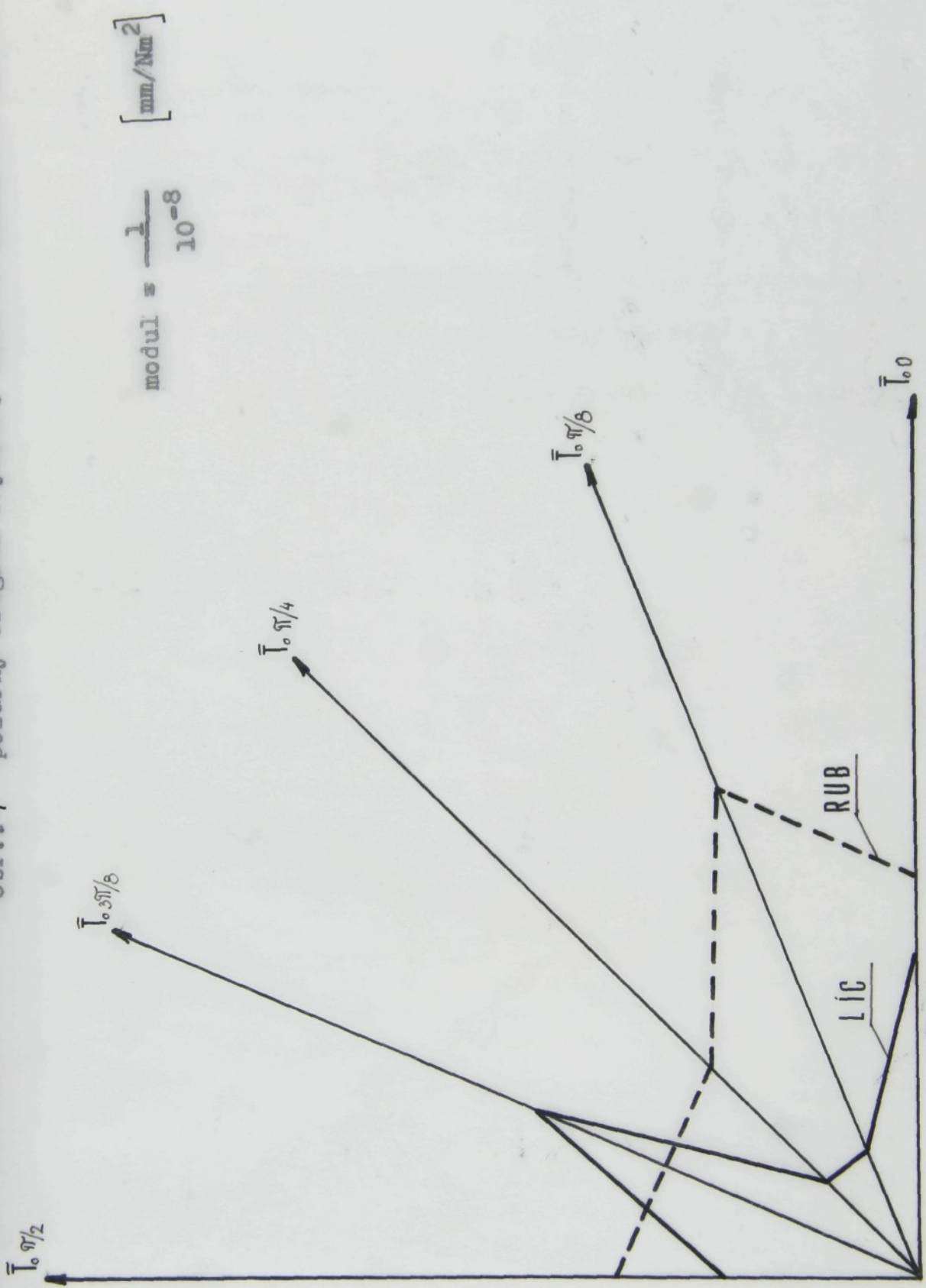
- 2.  $\frac{\pi}{8}$
- 3.  $\frac{\pi}{4}$
- 4.  $\frac{3\pi}{8}$
- 5.  $\frac{\pi}{2} = \text{útok}$

Popis tejto metódy je uvedený v kapitole

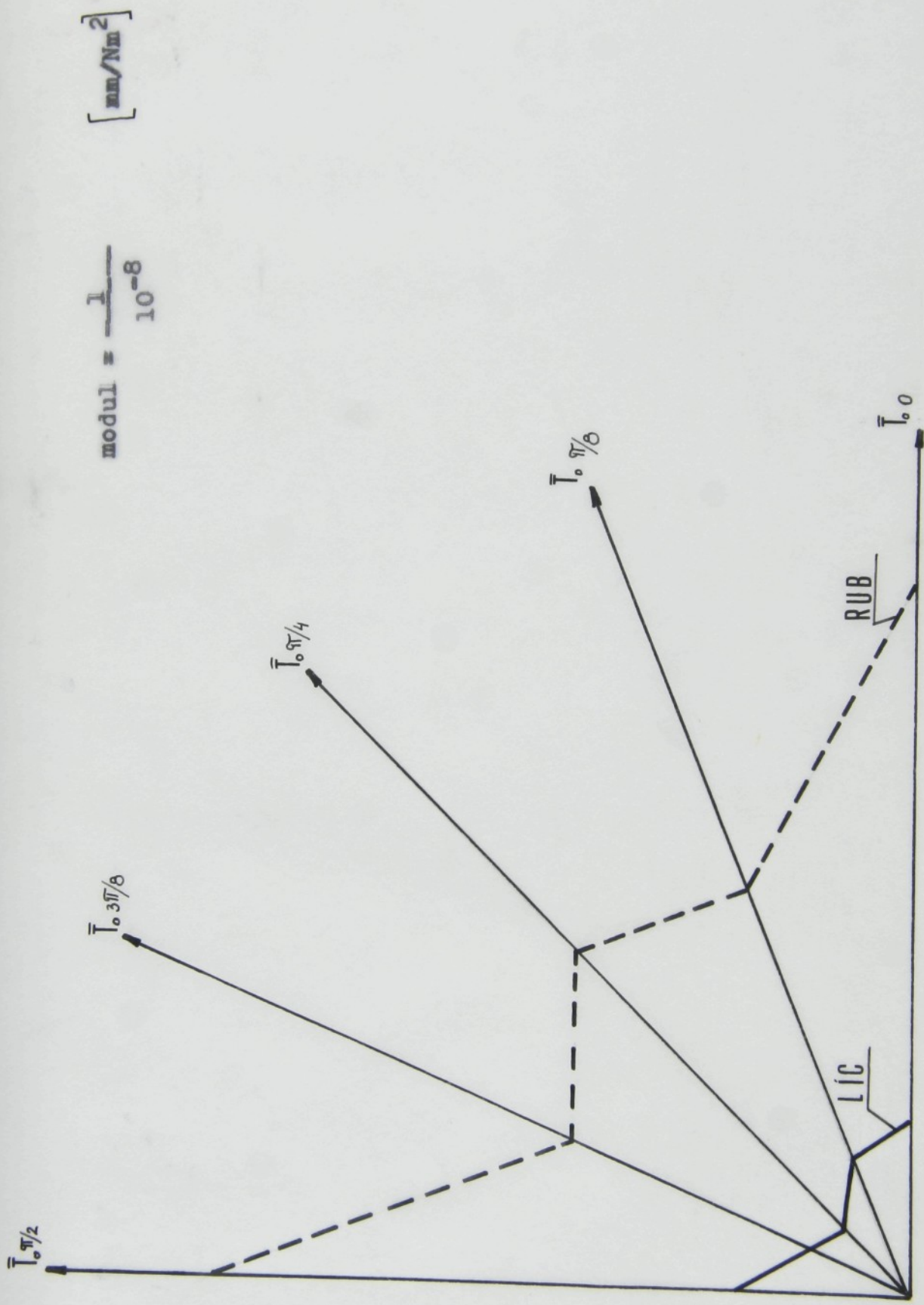
Výpočítané hodnoty ohybovej tuhosti na predložených vzorkoch samotných a v spojení s vrchným materiáлом sú spracované v tabuľkách 6-7

v grafoch 7-11

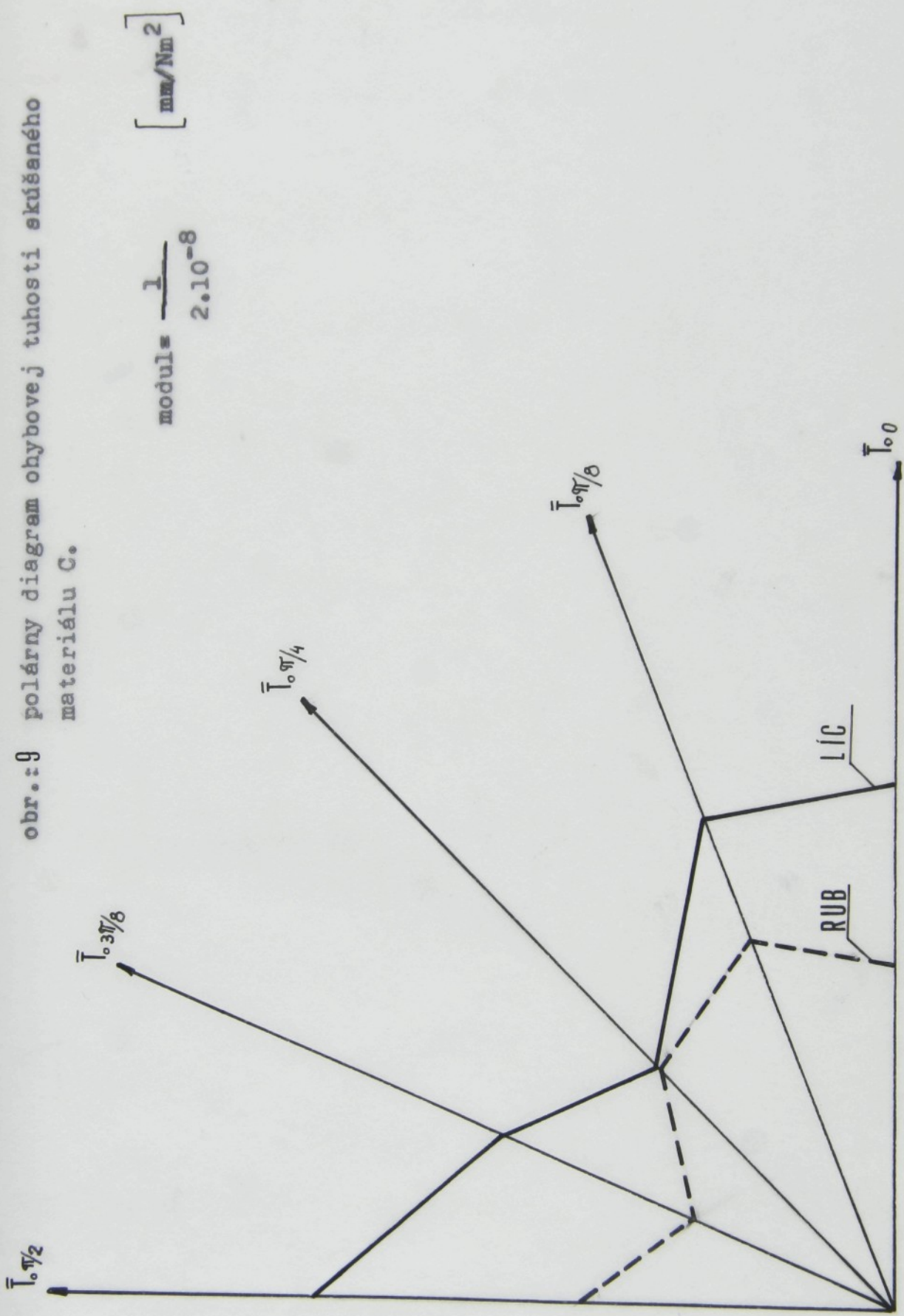
obr. z 7 polárný diagram ohybovej tuhosti skúšaného materiálu A.



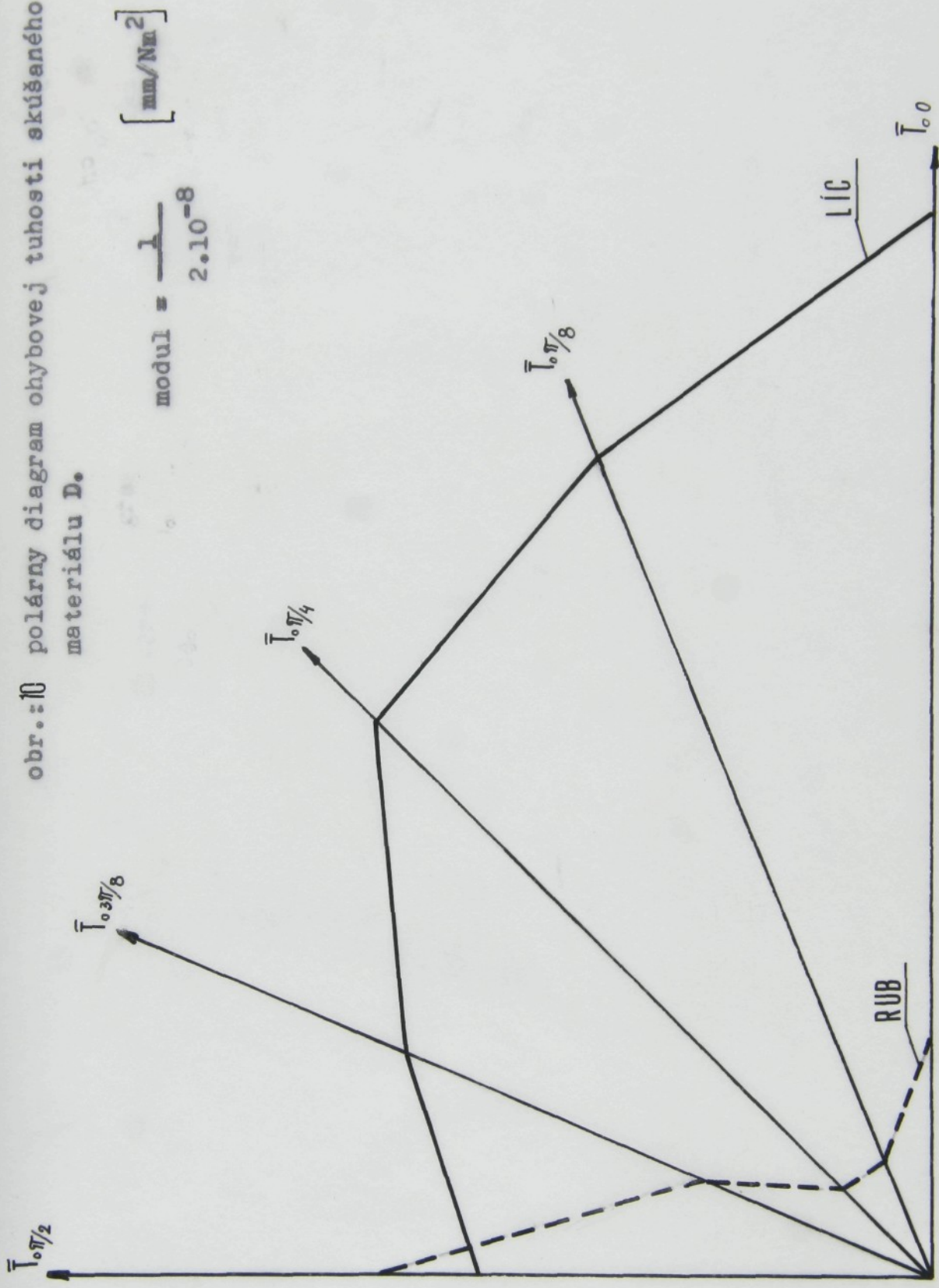
obr. 8 polárny diagram ohybovej tuhosti skúšaného materiálu B.



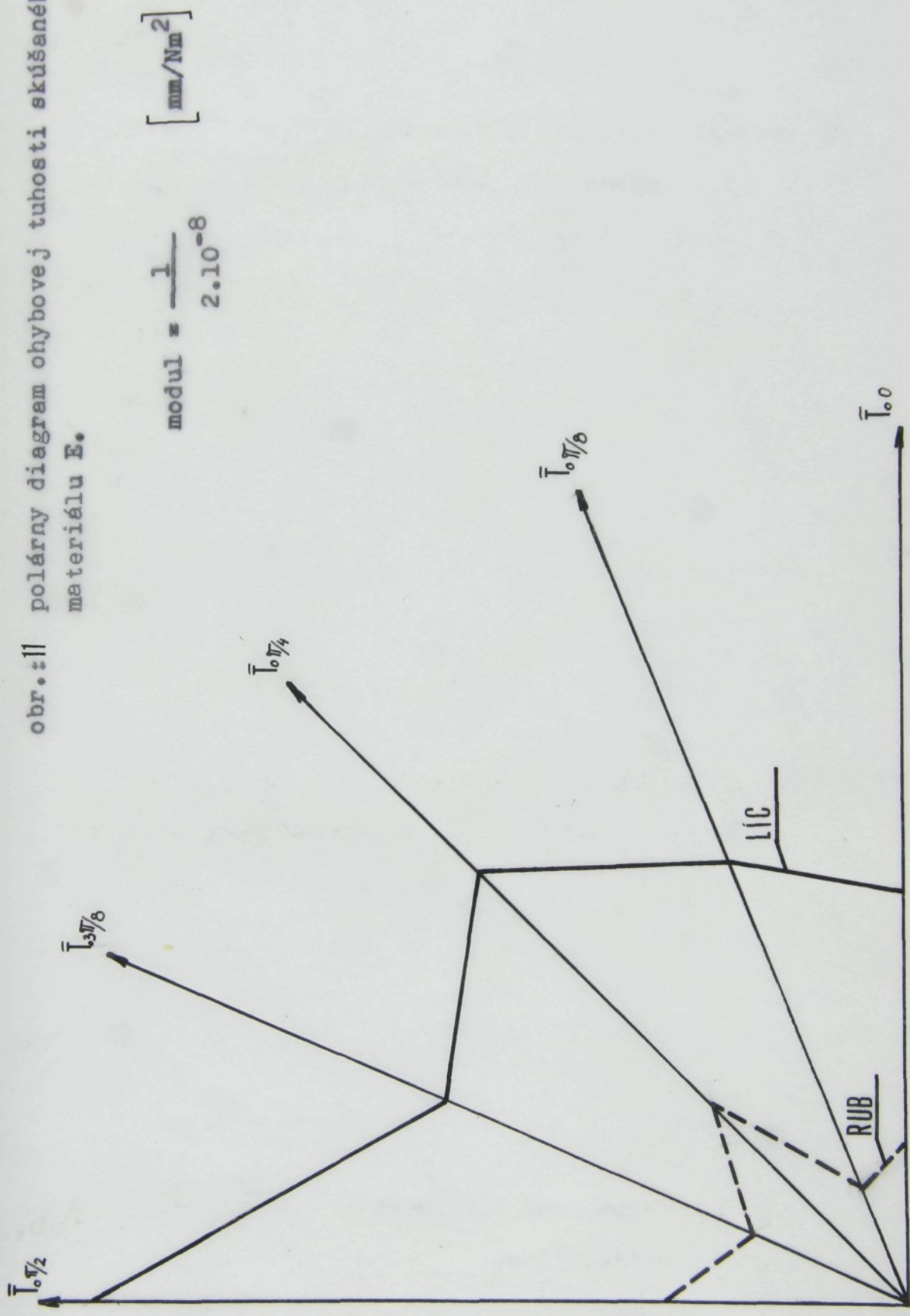
obr. 9 polárny diagram ohybovej tuhosti skúšaného materiálu C.



obr. 10 polárný diagram ohybovej tuhosti skúšaného materiálu D.



obr. z 11 polárny diagram ohybovej tuhosti skúšaného materiálu E.



### 3.6. Priprava skúšaných vzorkov pre meranie ohybovej deformácie.

Meranie bolo prevedené na dynamometri Instron za pomoci návrhnutého doplnkového zariadenia.

Rozmer vzorkov (50 x 270) mm

Vzorky vystrihnuté v smere:

1. osnova

2.  $\frac{7\pi}{18}$

3.  $\frac{\pi}{4}$

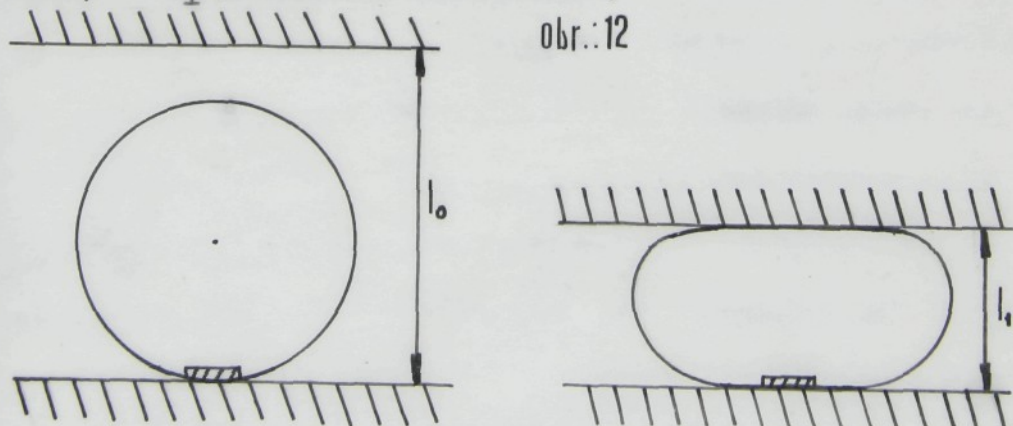
4.  $\frac{\pi}{6}$

5.  $\frac{\pi}{12}$

6. útok

### 3.7. Analýza grafických záznamov

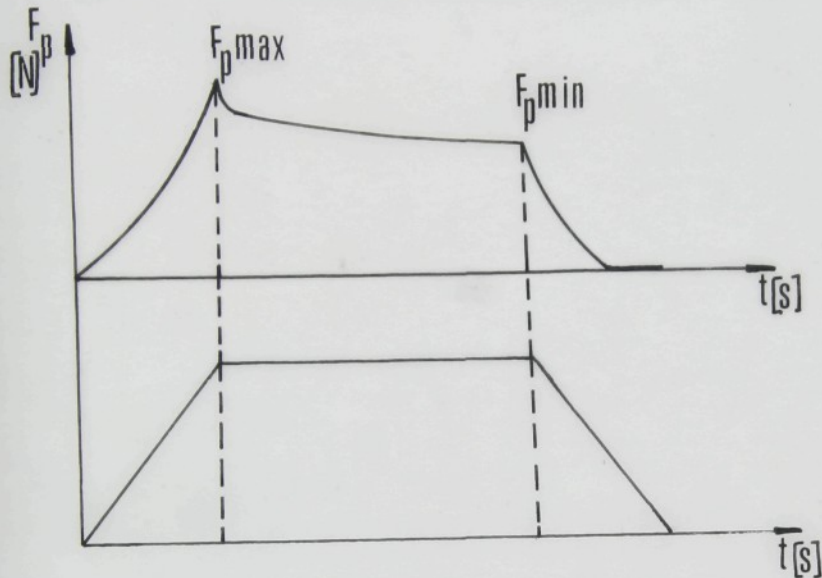
Zatažovacie teleso pracovalo v limitoch  $l_0$  (nulová poloha) a  $l_1$  (príslušné zataženie).



Deformácia skúšaného vzorku, ktorá vznikla vplyvom zataženia, bola pre každý vzorok a jeho 5 cyklov registrovaná grafickým záznamom. Z grafických záznamov bola snímaná vektorstvo tlakovej sily  $F_p$  a jej pokles dôsledkom vzniku trva-

lej deformácie zatažením. Ďalej z grafických záznamov bol patrný priebeh kriviek relaxácie napäťia v závislosti na čase pri konštantnom zatažení.

obr.:13 Grafický záznam jedného cyklu

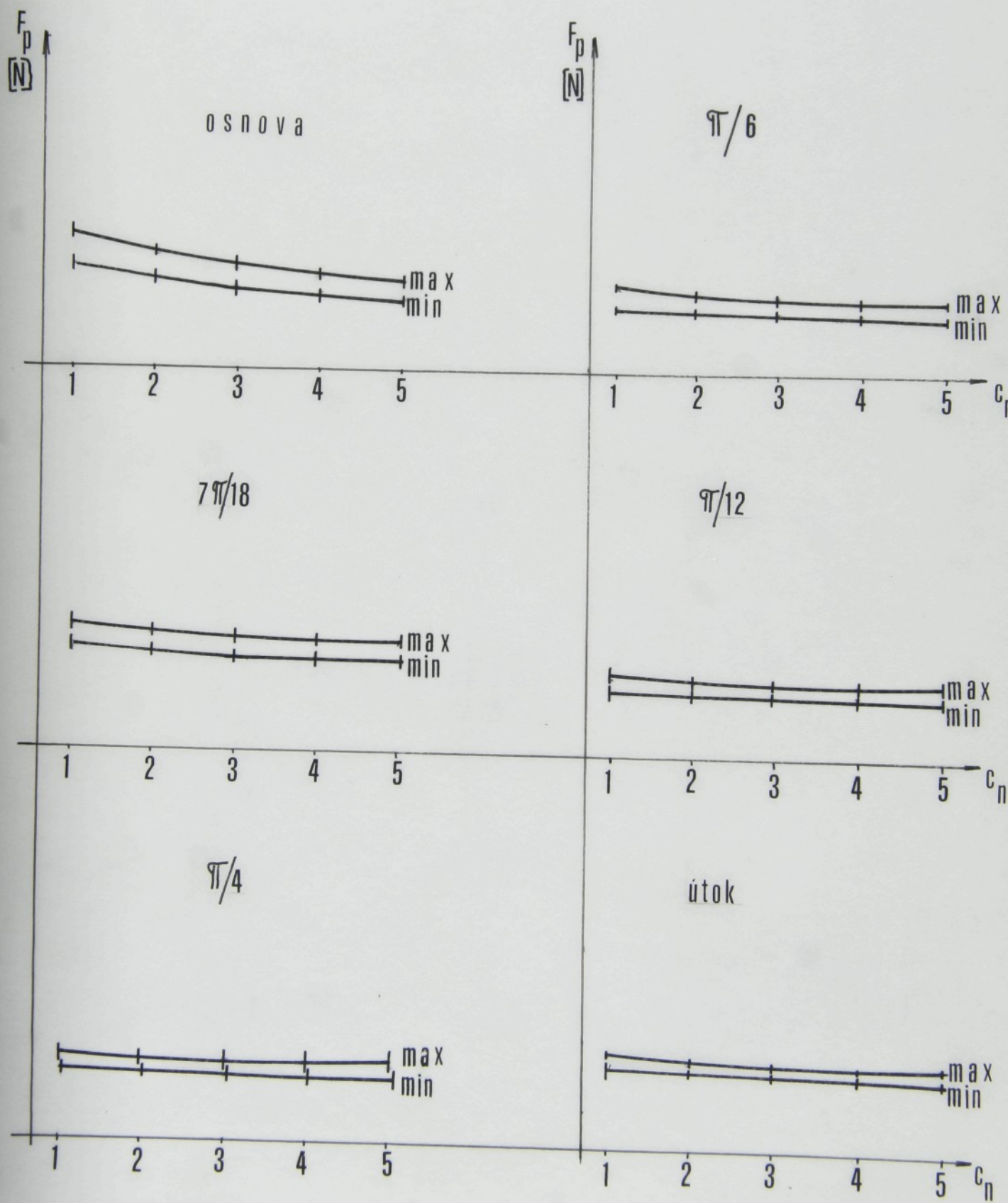


### 3.8 Grafický záznam viac cyklov.

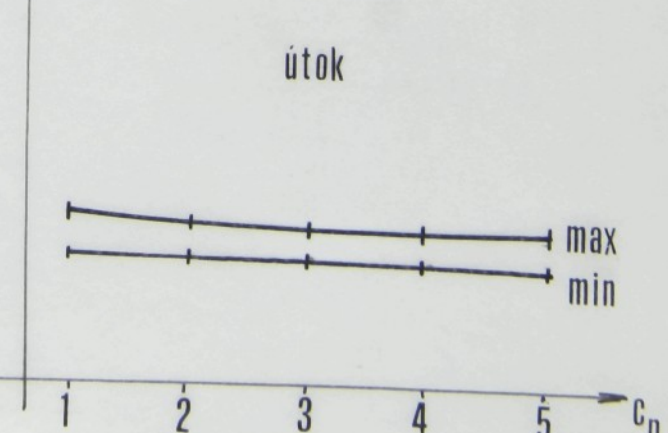
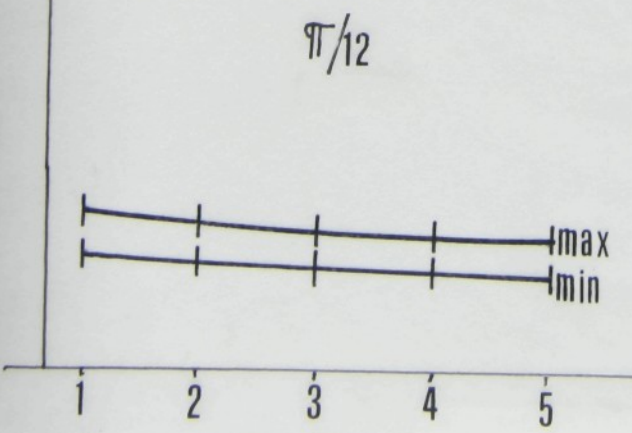
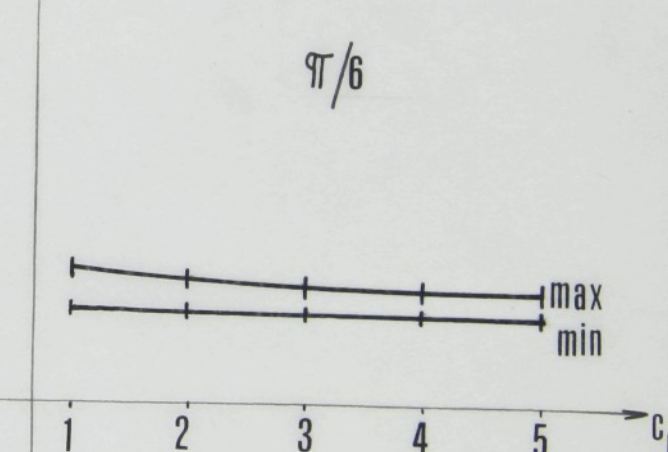
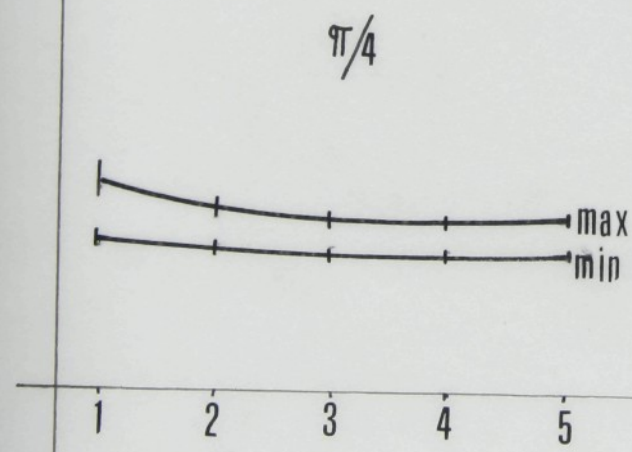
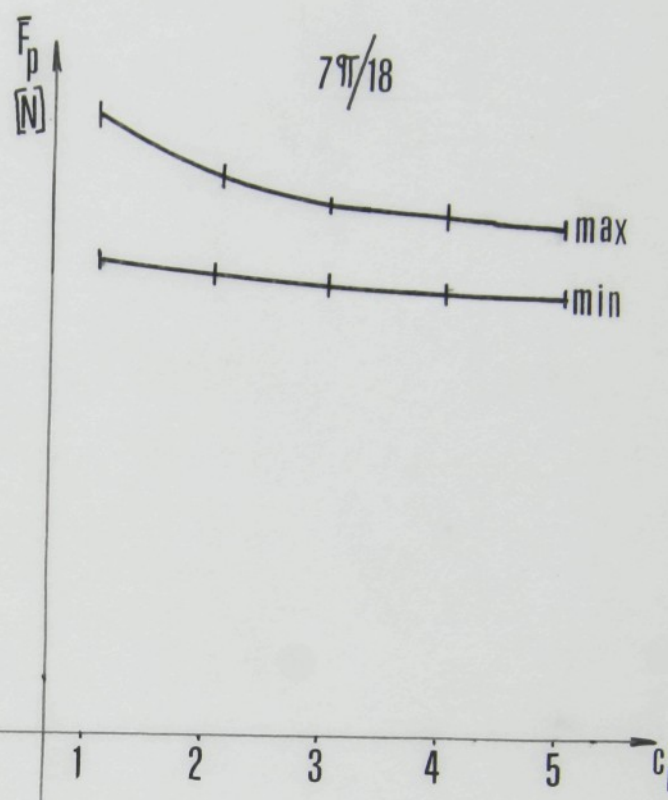
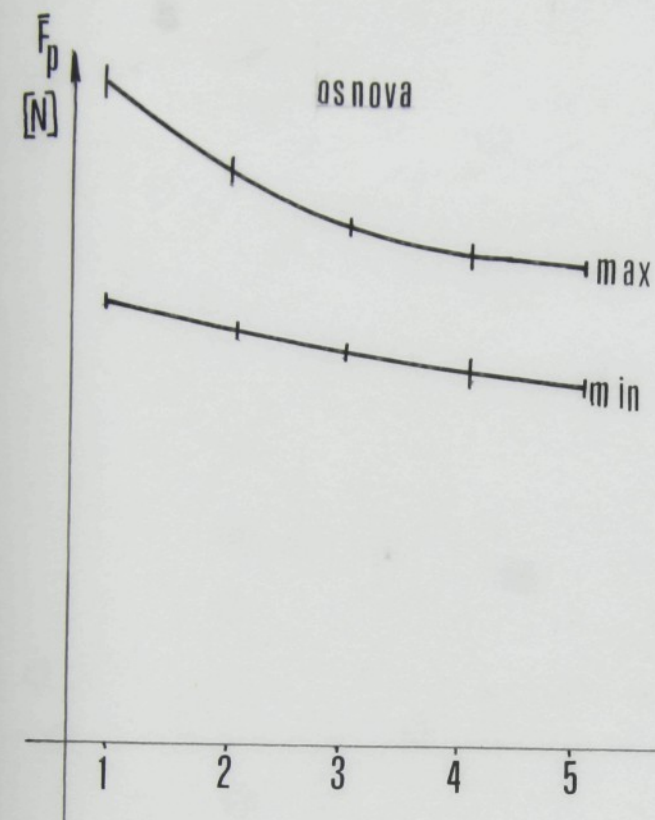
Pri rozbore cyklov boli sledované hodnoty v okamžiku zataženia a hodnoty v okamžiku odľahčenia. V ďalšom budú označované ako hodnoty maximálne a minimálne.

Z každého skúšaného vzorku v každom smere bolo k dispozícii 5 vzorkov. Boli vypočítané priemerné hodnoty  $F_p \text{ max}$  a  $F_p \text{ min}$  a k nim smerodatné odchylky  $s_{F_p \text{ max}}$  a  $s_{F_p \text{ min}}$ . Smerodatná odchylka nám ukazuje, ako priemerne kolísu namerané hodnoty od zistenej priemernej. Namerané hodnoty sú spracované v tabuľkách 8-12 a znazornnené v grafoch 14-18.

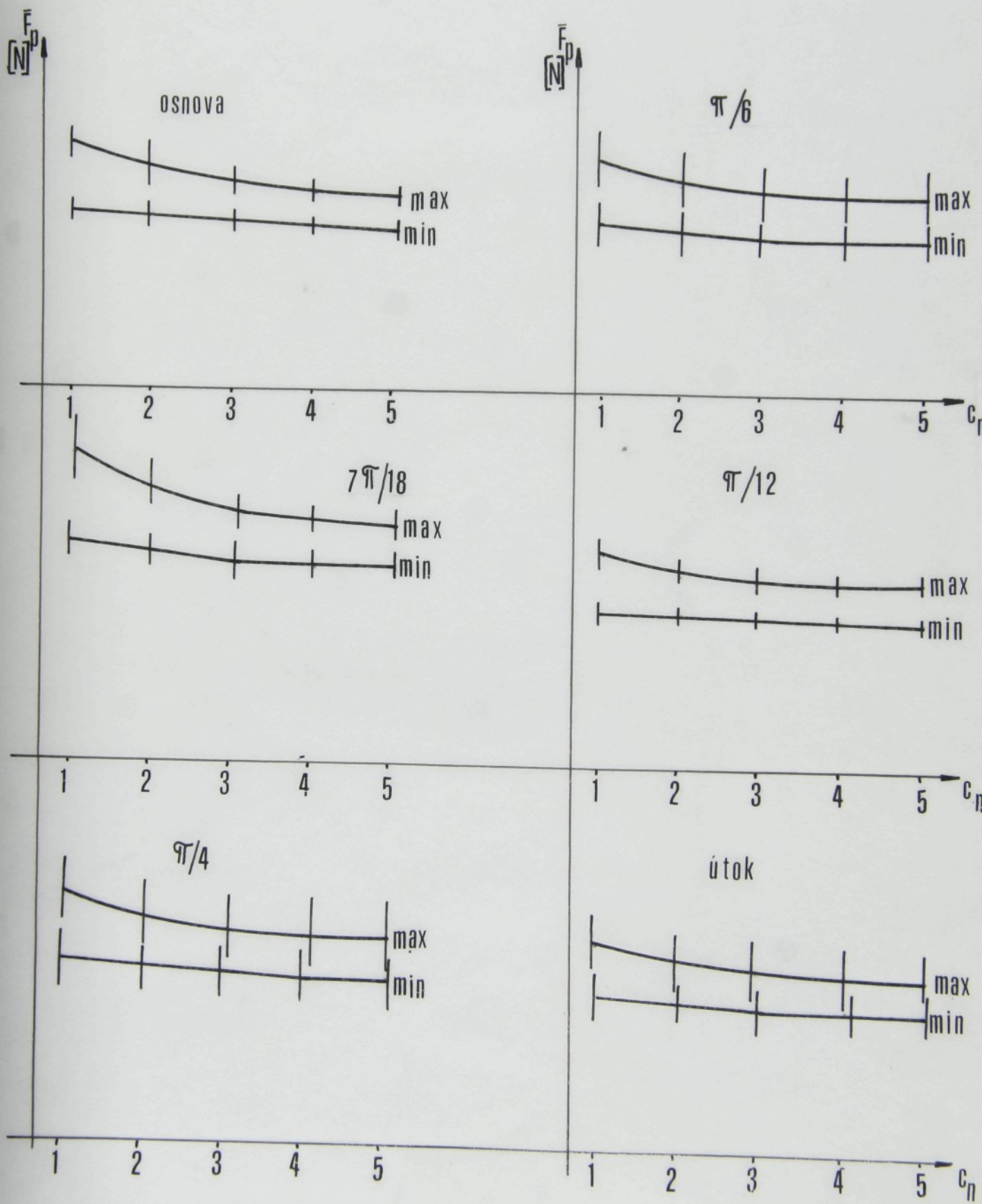
obr.: 14 grafické znázornenie priebehu  $F_p \max$ ,  
a  $F_p \min$  skúšaného materiálu A.



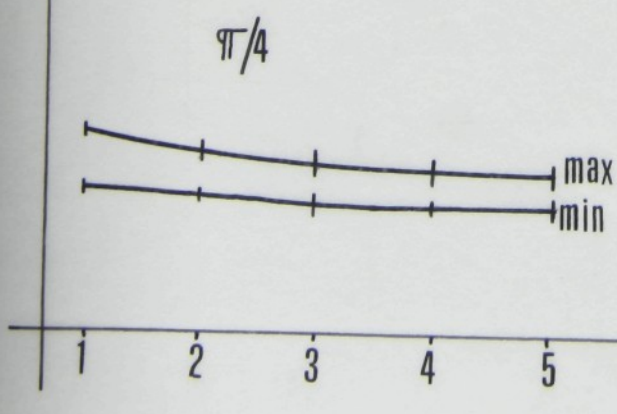
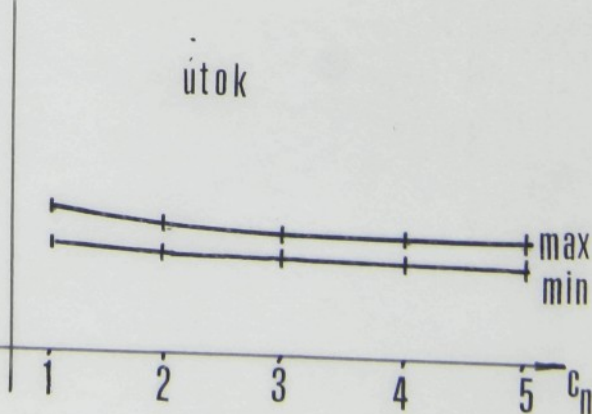
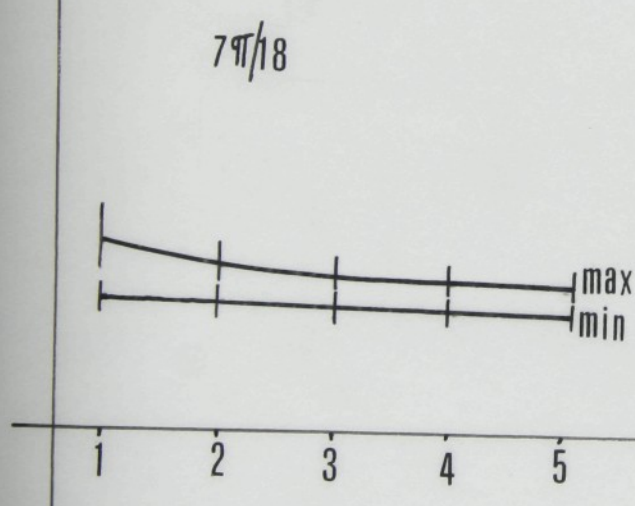
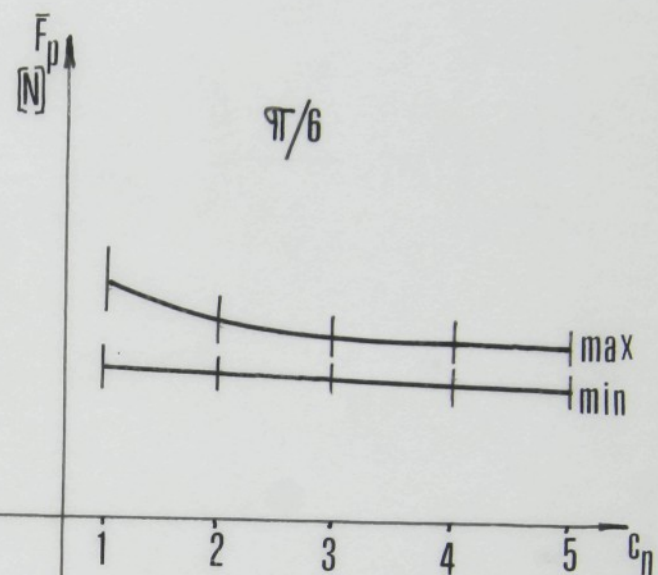
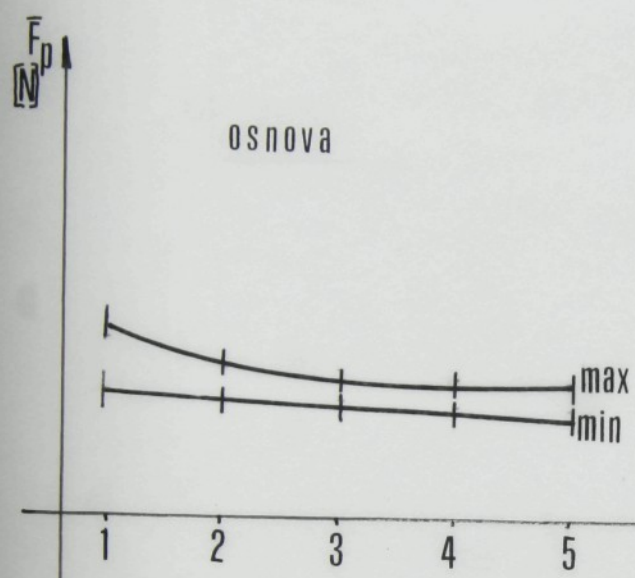
obr. z 15 grafické znázornenie priebehu  $F_p \text{ max}$ ,  
a  $F_p \text{ min}$  skúšaného materiálu B



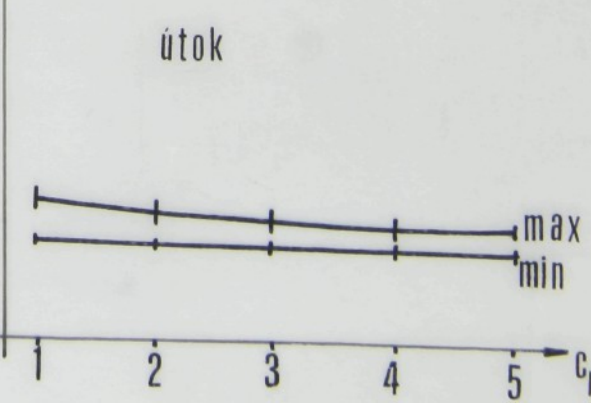
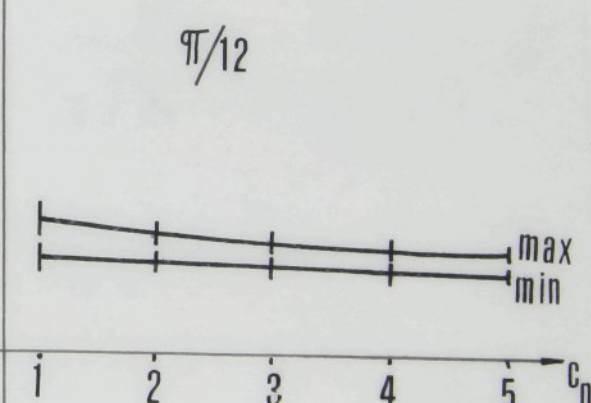
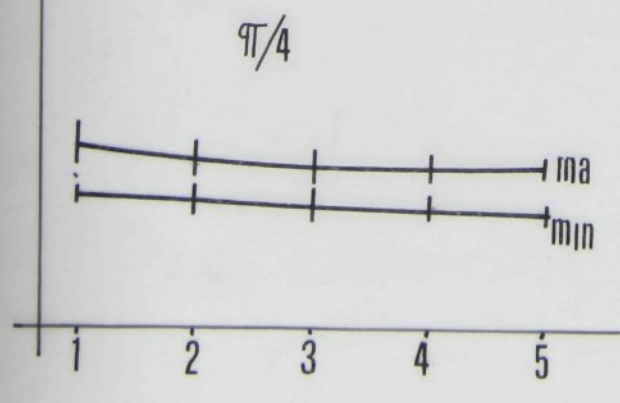
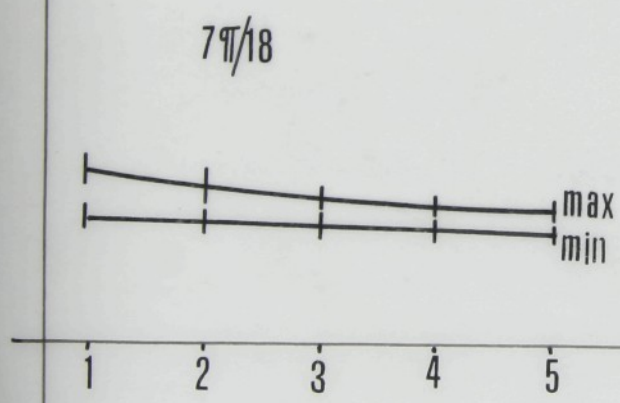
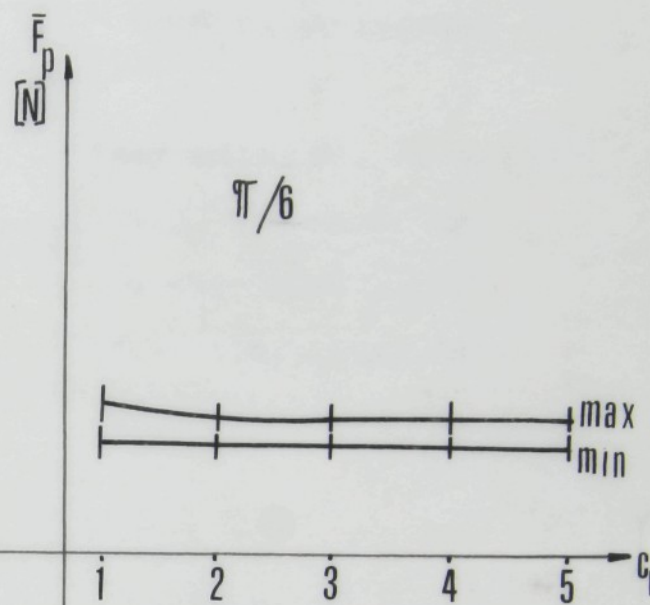
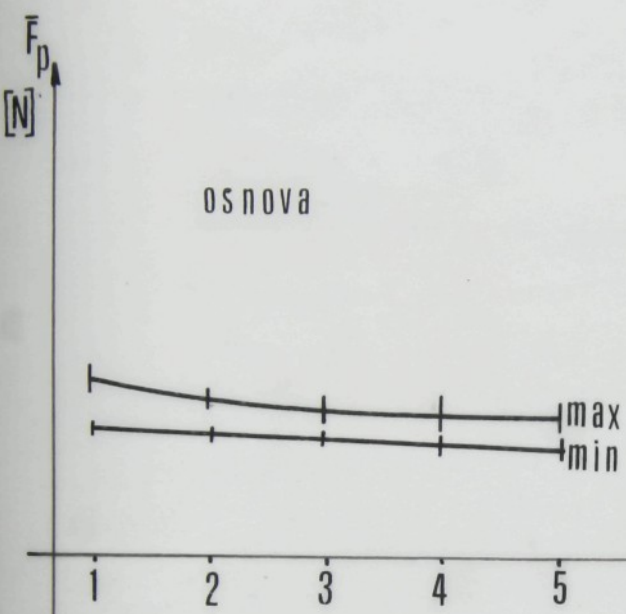
obr.: 16 grafické znázornenie priebehu  $F_p \text{ max}$ ,  
a  $F_p \text{ min}$  skúšaného materiálu C



obr. 17 grafické znázornenie priebehu  $F_p \text{ max}$ ,  
a  $F_p \text{ min}$  skúšaného materiálu D



obr.: 18 grafické znázornenie priebehu  $\bar{F}_p$  max,  
a  $\bar{F}_p$  min skúšaného materiálu E.



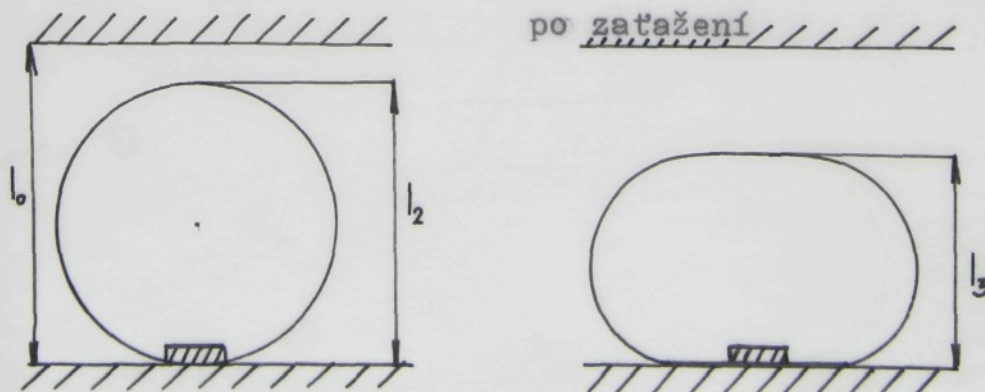
Z grafických záznamov je patrné, že maximálna sila je pri prvom cykle. Počas ďalších 4 cyklov viditeľne klesá. S väčším počtom cyklov by nasledoval miernejší pokles, ktorý by sa po určitom počte cyklov ustálil na nejakej hodnote.

Tieto krivky charakterizujú daný materiál. Je zrejmé, že čím pozvolnejsie by klesali, t.j. čím menší by bol rozdiel medzi silou pri prvom cykle a napríklad pri 50 cykle, tým by mal materiál menší podiel plastickej deformácie.

### 3.9. Stanovenie stupňa elastického zotavenia

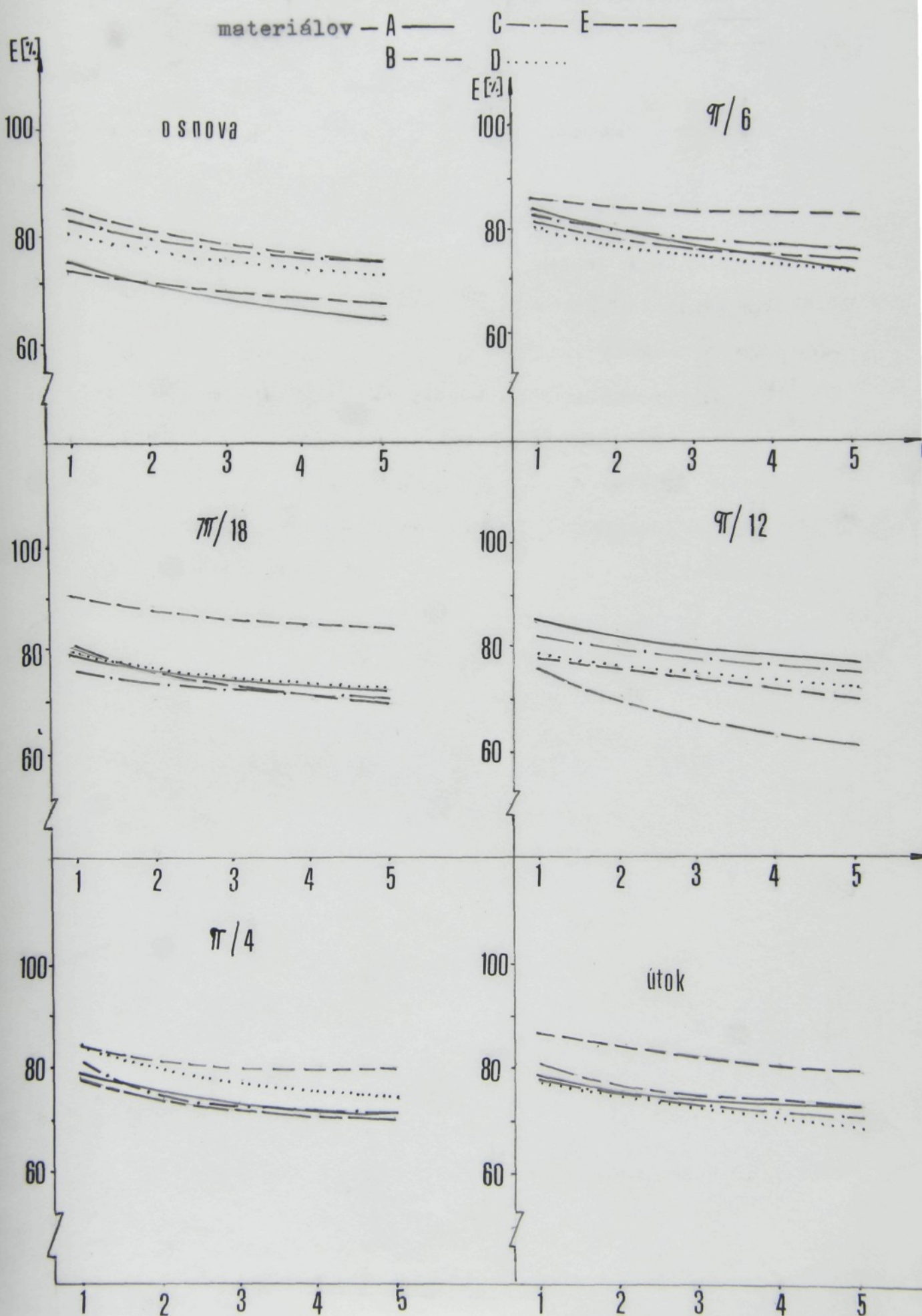
Po upnutí skúšaného materiálu do čelustí doplnkového zariadenia dynamometru Instron si premeriame vzdialenosť  $l_2$  a potom po každom nasledujúcim cykle po zotavení 60 s si premeriame vzdialenosť  $l_3$ .

obr.: 19 Skúšaný materiál pred zaťažením



Zo zmeny vzdialenosťi  $l_2$  sa stanoví stupeň elastického zotavenia (velkosť elastickej deformácie).

obr. 20 Stupeň elatického zotavenia skúšaných

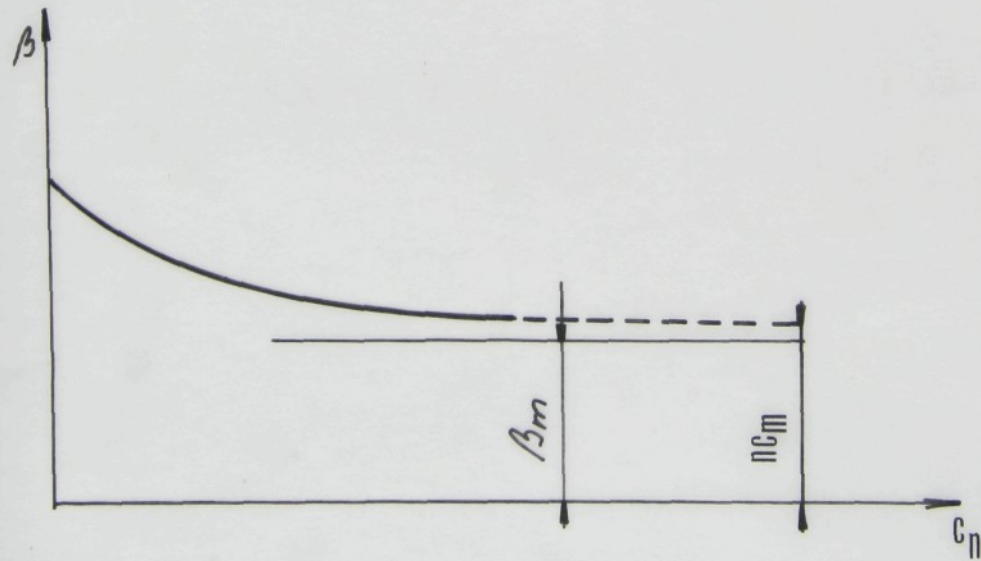


$$E = \frac{l_3}{l_2} \cdot 10^2 [\%]$$

Stupeň elastického zotavenia E je uvedený v tabuľke 13 a znázornený v grafoch 20.

Z grafov obr. 20 je vidieť, že podiel elastickej deformácie s počtom cyklov klesá (stúpa podiel plastickej deformácie). Miera poklesu elastičnosti bude nepriamo úmerná kvalite skúšaného materiálu z hľadiska elastických vlastností. Pokles sa bude asymptoticky blížiť k určitej medzi únavy  $\beta_m$ . Táto únava nastane po určitom medznom počte cyklov  $n_{cm}$ . Vyšší počet zatažovacích cyklov ako medzny nevedie k zníženiu elasticity textilie. Viď obrázok 21.

obr.: 21



4. ZÁVEREČNÁ ČASŤ

#### 4.1. Záver

Úlohou tejto diplomovej práce bolo previesť literárny prieskum metód merania ohybovej tuhosti a ohybovej deformácie. Na základe literárneho prieskumu návrhnúť doplnkové zariadenie k dynamometru Instron.

Meranie ohybovej tuhosti sa prevádzalo na konštrukčne jednoduchom prístroji zostrojenom na katedre textilných materiálov VŠST. Skúšanie sa prevádzalo na samotných materiáloch a význužných vložkách a v spojení. Z námeraných hodnôt je zretel'né, že význužné vložky väčšinu svojich vlastností nadobudnú až po spojení s vrchným materiálom.

Najmenšiu hodnotu ohybovej tuhosti vykazuje skúšaný materiál A a B.

Skúšanie ohybovej deformácie bolo prevedené za pomoci doplnkového zariadenia, ktoré bolo pripojené k dynamometru Instron. Pre meranie boli použité cyklické skúšky.

Z grafických záznamov je zretel'né, že rôzne kombinácie význužných vložiek a vrchných materiálov majú rôzny priebeh tlakovej sily  $F_p$ . Z grafických záznamov je ďalej patrné, že maximálna sila je v prvom cykle. Počas ďalších štyroch klesá. S väčším počtom cyklov by nasledoval miernejší pokles, ktorý by sa po určitom počte cyklov ustalil na nejakej hodnote.

Tieto krivky charakterizujú daný materiál. Z dôvodu, že boli prevedené rôzne kombinácie význužných vložiek a vrchných materiálov nemožno previesť vyhodnotenie jednotlivých význužných vložiek.

5. Zoznam použitej literatúry.

1. Staněk, J.: Náuka o textilných materiáloch, Prednášky Fakulta textilná, VŠST Liberec 1980.
2. Hampl, M.: Vlastnosti význačných odevných vložiek. Textil 30, 1975. č. 9, s. 344 - 346
3. Grmeloová, V.: Deformácia plošnej textílie pri neortodoxnom spôsobe namáhania, /Diplomová práca/, Fakulta textilná, VŠST Liberec 1977.
4. Solovjeva, N.: Mechanické vlastnosti význačných textilií, /Diplomová práca/, Fakulta textilná, VŠST Liberec 1977.
5. Molnár, I.: Anizotropia tuhosti v ohybe a splyvavosti tkaniny, /Diplomová práca/, Fakulta textilná, VŠST Liberec 1979.
6. ČSN 800844
7. ČSN 800845

6. TABUĽKOVÁ PRÍLOHA

tab. 6 Hodnoty ohýbovej tuhosti samotných vzorkov a v spojení s vrchným materiálom /ľicna strana/.

smer	0	$\pi/8$	$\pi/4$	$3\pi/8$	$\pi/2$
druh	$T_{00} \cdot 10^{-9}$ [Nm <sup>2</sup> ]	$T_{0\pi/8} \cdot 10^{-9}$ [Nm <sup>2</sup> ]	$T_{0\pi/4} \cdot 10^{-9}$ [Nm <sup>2</sup> ]	$T_{03\pi/8} \cdot 10^{-9}$ [Nm <sup>2</sup> ]	$T_{0\pi/2} \cdot 10^{-9}$ [Nm <sup>2</sup> ]
I 9448202 A	82,5	48,0	45,8	45,8	59,9
	161,9	158,5	132,5	158,5	200,5
	516,5	218,2	220,8	692,6	319,9
II terpolin B	62,9	39,6	39,9	50,9	51,6
	546,9	546,5	418,7	508,9	336,5
	285,2	245,3	146,8	174,5	289,7
III ronofix C	240,2	185,9	161,6	82,7	122,9
	1044,2	3136,9	1567,7	1253,5	1044,2
	1774,3	1774,3	1132,6	1436,1	2028,1
IV ronotermin D	202,9	187,2	137,6	120,4	148,1
	814,5	163,5	346,5	610,1	407,8
	3410,7	2923,0	2598,3	1867,4	1478,2
V vliestein E	237,8	413,9	171,7	141,9	184,3
	237,8	129,4	119,2	85,9	56,9
	1365,8	1557,7	2025,0	1674,4	2804,6

tab. z 7 Hodnoty ohýbovej tuhosti samotných vzorkov a v spojení  
● vrchným materiáľom /rúbna strana/.

smer	$\Theta$	$\pi/8$	$\pi/4$	$3\pi/8$	$7\pi/2$
druh	$T_{00} \cdot 10^{-9}$ [Nm]	$T_{0\pi/8} \cdot 10^{-9}$ [Nm]	$T_{0\pi/4} \cdot 10^{-9}$ [Nm]	$T_{03\pi/8} \cdot 10^{-9}$ [Nm]	$T_{07\pi/2} \cdot 10^{-9}$ [Nm]
I 9448202 A	82,5	47,9	45,7	45,7	59,9
	158,5	151,5	132,5	161,9	151,5
	67,6	80,9	47,9	44,1	50,2
II terpolin B	40,6	42,3	38,2	44,0	51,6
	418,7	336,5	508,5	546,9	508,5
	1193,0	721,4	794,3	613,2	1193,4
III monofix C	885,7	830,5	289,4	488,7	272,1
	1560,2	1044,2	1567,7	1253,5	2044,1
	1181,3	1350,1	1132,6	717,2	1096,9
IV monoterm D	209,3	191,5	132,7	142,9	97,3
	610,1	814,5	346,6	407,8	163,5
	729,9	398,9	410,8	810,8	1803,3
V vliesel. E	232,7	437,9	216,4	281,9	308,2
	200,4	96,5	119,2	129,4	85,4
	560,9	398,8	911,5	561,2	804,6

tab.: 8 hodnoty  $\bar{F}_p$  max,  $s_{F_p \text{ max}}$ ,  $\bar{F}_p$  min,  $s_{F_p \text{ min}}$   
skúšaného materiálu A.

smer	cykl.	$\bar{F}_p$ max N	$s_{F_p \text{ max}}$ N	$\bar{F}_p$ min N	$s_{F_p \text{ min}}$ N
0 s n o v a	1	0,237	0,018	0,183	0,013
	2	0,201	0,010	0,167	0,008
	3	0,183	0,014	0,147	0,013
	4	0,174	0,014	0,141	0,013
	5	0,168	0,011	0,134	0,011
$\pi/18$	1	0,221	0,014	0,185	0,010
	2	0,211	0,013	0,177	0,011
	3	0,206	0,014	0,173	0,013
	4	0,200	0,012	0,171	0,011
	5	0,197	0,010	0,168	0,011
$\pi/4$	1	0,154	0,020	0,126	0,017
	2	0,146	0,020	0,120	0,017
	3	0,144	0,021	0,119	0,018
	4	0,140	0,024	0,116	0,018
	5	0,137	0,024	0,116	0,018
$\pi/6$	1	0,152	0,009	0,123	0,004
	2	0,141	0,007	0,120	0,003
	3	0,139	0,007	0,118	0,005
	4	0,133	0,006	0,111	0,005
	5	0,130	0,006	0,110	0,004
$\pi/12$	1	0,145	0,016	0,119	0,015
	2	0,136	0,016	0,116	0,012
	3	0,134	0,013	0,113	0,012
	4	0,131	0,014	0,111	0,011
	5	0,130	0,013	0,101	0,011
útok	1	0,165	0,006	0,144	0,012
	2	0,156	0,006	0,141	0,009
	3	0,151	0,004	0,138	0,010
	4	0,151	0,002	0,135	0,014
	5	0,151	0,002	0,131	0,006

tab.: 9 hodnoty  $\bar{F}_p$  max,  $s_{F_p}$  max,  $\bar{F}_p$  min,  $s_{F_p}$  min  
skúšaného materiálu B

smer	cykl.	$\bar{F}_p$ max N	$s_{F_p}$ max N	$\bar{F}_p$ min N	$s_{F_p}$ min N
0,5110Vá	1	0,850	0,024	0,569	0,008
	2	0,725	0,014	0,526	0,009
	3	0,674	0,010	0,500	0,010
	4	0,642	0,012	0,470	0,020
	5	0,619	0,009	0,469	0,008
1π/8	1	0,790	0,020	0,599	0,010
	2	0,705	0,020	0,582	0,010
	3	0,681	0,010	0,571	0,084
	4	0,667	0,010	0,569	0,015
	5	0,659	0,010	0,556	0,015
π/4	1	0,258	0,020	0,185	0,005
	2	0,223	0,008	0,185	0,007
	3	0,220	0,009	0,185	0,007
	4	0,219	0,005	0,180	0,007
	5	0,219	0,005	0,179	0,004
π/6	1	0,167	0,020	0,128	0,006
	2	0,156	0,014	0,120	0,008
	3	0,151	0,012	0,120	0,008
	4	0,148	0,011	0,120	0,009
	5	0,147	0,010	0,116	0,010
π/12	1	0,208	0,025	0,147	0,017
	2	0,185	0,020	0,138	0,019
	3	0,174	0,019	0,134	0,020
	4	0,168	0,017	0,129	0,016
	5	0,161	0,019	0,126	0,019
útok	1	0,213	0,007	0,167	0,006
	2	0,199	0,007	0,164	0,004
	3	0,195	0,009	0,162	0,004
	4	0,193	0,009	0,159	0,004
	5	0,189	0,006	0,156	0,005

tab.:10 hodnoty  $\bar{F}_p$  max,  $s_{\bar{F}_p}$  max,  $\bar{F}_p$  min,  $s_{\bar{F}_p}$  min  
skúšaného materiálu C.

smer	cykl.	$\bar{F}_p$ max N	$s_{\bar{F}_p}$ max N	$\bar{F}_p$ min N	$s_{\bar{F}_p}$ min N
0 smerov	1	0,453	0,029	0,337	0,017
	2	0,413	0,045	0,321	0,024
	3	0,384	0,029	0,310	0,022
	4	0,367	0,026	0,302	0,018
	5	0,359	0,025	0,296	0,019
$7\pi/18$	1	0,567	0,060	0,407	0,030
	2	0,497	0,040	0,386	0,030
	3	0,470	0,030	0,374	0,027
	4	0,455	0,030	0,366	0,026
	5	0,444	0,030	0,363	0,022
$\pi/4$	1	0,457	0,060	0,333	0,050
	2	0,407	0,064	0,320	0,052
	3	0,387	0,064	0,311	0,050
	4	0,376	0,063	0,304	0,050
	5	0,368	0,058	0,301	0,050
$\pi/6$	1	0,432	0,072	0,313	0,050
	2	0,385	0,062	0,298	0,043
	3	0,372	0,054	0,292	0,037
	4	0,368	0,055	0,287	0,038
	5	0,354	0,050	0,286	0,037
$\pi/12$	1	0,394	0,030	0,289	0,022
	2	0,356	0,025	0,281	0,015
	3	0,347	0,020	0,277	0,015
	4	0,342	0,016	0,274	0,012
	5	0,339	0,020	0,271	0,016
dok	1	0,378	0,050	0,284	0,040
	2	0,345	0,050	0,270	0,036
	3	0,331	0,050	0,264	0,038
	4	0,324	0,046	0,263	0,038
	5	0,321	0,045	0,260	0,038

tab. 11 hodnoty  $\bar{F}_p$  max,  $s_{F_p}$  max,  $\bar{F}_p$  min,  $s_{F_p}$  min  
skúšaného materiálu D.

smer	cykl.	$\bar{F}_p$ max N	$s_{F_p}$ max N	$\bar{F}_p$ min N	$s_{F_p}$ min N
0 s nová	1	0,229	0,026	0,164	0,020
	2	0,193	0,019	0,155	0,020
	3	0,189	0,026	0,151	0,022
	4	0,184	0,028	0,146	0,021
	5	0,179	0,024	0,144	0,022
$7\pi/18$	1	0,238	0,042	0,175	0,026
	2	0,208	0,032	0,165	0,023
	3	0,197	0,031	0,161	0,020
	4	0,192	0,030	0,158	0,020
	5	0,187	0,030	0,154	0,021
$\pi/4$	1	0,251	0,005	0,184	0,006
	2	0,222	0,008	0,176	0,005
	3	0,210	0,012	0,168	0,005
	4	0,206	0,008	0,165	0,002
	5	0,201	0,010	0,164	0,004
$\pi/6$	1	0,287	0,040	0,200	0,030
	2	0,246	0,040	0,189	0,030
	3	0,234	0,030	0,185	0,024
	4	0,226	0,030	0,182	0,024
	5	0,222	0,030	0,178	0,024
$\pi/12$	1	0,236	0,015	0,173	0,009
	2	0,210	0,011	0,169	0,007
	3	0,202	0,012	0,166	0,009
	4	0,195	0,011	0,162	0,008
	5	0,193	0,012	0,160	0,008
útok	1	0,174	0,010	0,132	0,008
	2	0,153	0,008	0,126	0,008
	3	0,149	0,008	0,124	0,008
	4	0,145	0,008	0,121	0,008
	5	0,142	0,008	0,120	0,009

tab.: 12 hodnoty  $\bar{F}_p$  max,  $s_{F_p}$  max,  $\bar{F}_p$  min,  $s_{F_p}$  min  
skúšaného materiálu E.

smer	cykl.	$\bar{F}_p$ max N	$s_{F_p}$ max N	$\bar{F}_p$ min N	$s_{F_p}$ min N
0 sová	1	0,224	0,017	0,165	0,012
	2	0,198	0,015	0,159	0,009
	3	0,189	0,016	0,152	0,012
	4	0,183	0,015	0,150	0,013
	5	0,179	0,016	0,147	0,014
$7\pi/18$	1	0,219	0,022	0,166	0,014
	2	0,195	0,016	0,157	0,012
	3	0,187	0,016	0,153	0,013
	4	0,180	0,013	0,150	0,013
	5	0,176	0,015	0,148	0,011
$\pi/4$	1	0,226	0,012	0,169	0,008
	2	0,208	0,017	0,166	0,014
	3	0,203	0,017	0,164	0,011
	4	0,202	0,012	0,162	0,011
	5	0,197	0,013	0,161	0,010
$\pi/6$	1	0,195	0,034	0,146	0,021
	2	0,178	0,024	0,143	0,020
	3	0,175	0,025	0,141	0,020
	4	0,171	0,026	0,139	0,020
	5	0,171	0,026	0,139	0,020
$\pi/12$	1	0,167	0,022	0,124	0,020
	2	0,148	0,023	0,021	0,142
	3	0,025	0,111	0,018	0,135
	4	0,135	0,016	0,108	0,010
	5	0,129	0,009	0,105	0,008
útok	1	0,174	0,015	0,123	0,005
	2	0,157	0,014	0,120	0,004
	3	0,150	0,014	0,117	0,001
	4	0,150	0,010	0,116	0,002
	5	0,140	0,005	0,116	0,002

tab. z 13 Stupeň elatického zotavenia skúšaných materiálov.

skúš. mater.		A	B	C	D	E
smer	cykl.	E [%]				
0 snova	1.	75,0	85,0	83,75	81,1	73,2
	2.	71,8	81,8	80,0	77,2	71,1
	3.	68,5	78,7	78,8	75,6	69,7
	4	66,1	77,2	76,9	72,1	67,6
	5	64,5	75,6	75,6	71,9	66,2
$\pi/18$	1	79,8	90,75	76,9	79,2	80,6
	2	70,1	88,7	73,8	76,5	74,5
	3	75,4	86,8	72,5	74,5	73,1
	4	72,2	85,3	71,3	73,2	70,2
	5	71,9	84,5	70,0	71,8	69,6
$\pi/4$	1	79,2	85,1	82,9	84,9	79,7
	2	76,0	82,9	75,5	80,5	75,7
	3	73,9	80,9	74,1	78,4	74,1
	4	72,9	80,9	72,8	76,3	72,7
	5	71,8	80,9	71,5	74,8	71,3
$\pi/6$	1	84,4	86,4	83,1	80,0	82,7
	2	80,0	84,1	81,0	76,8	78,9
	3	76,6	84,1	78,4	75,4	76,6
	4	74,4	82,9	77,7	74,1	75,2
	5	72,2	82,9	76,3	72,9	74,4
$\pi/12$	1	85,3	78,0	82,3	79,6	76,9
	2	83,1	76,0	80,4	76,8	70,0
	3	81,1	74,0	77,7	75,5	65,4
	4	78,9	72,0	76,5	74,1	63,1
	5	77,9	70,0	75,2	72,8	61,5
útok	1	79,4	87,6	78,0	78,2	81,3
	2	76,6	85,7	76,0	74,8	76,1
	3	75,7	83,8	74,6	72,8	74,6
	4	73,8	81,9	73,3	70,7	73,9
	5	72,8	80,0	72,0	69,4	72,3

V58/  
83T